

Zastosowanie magnetycznego rezonansu

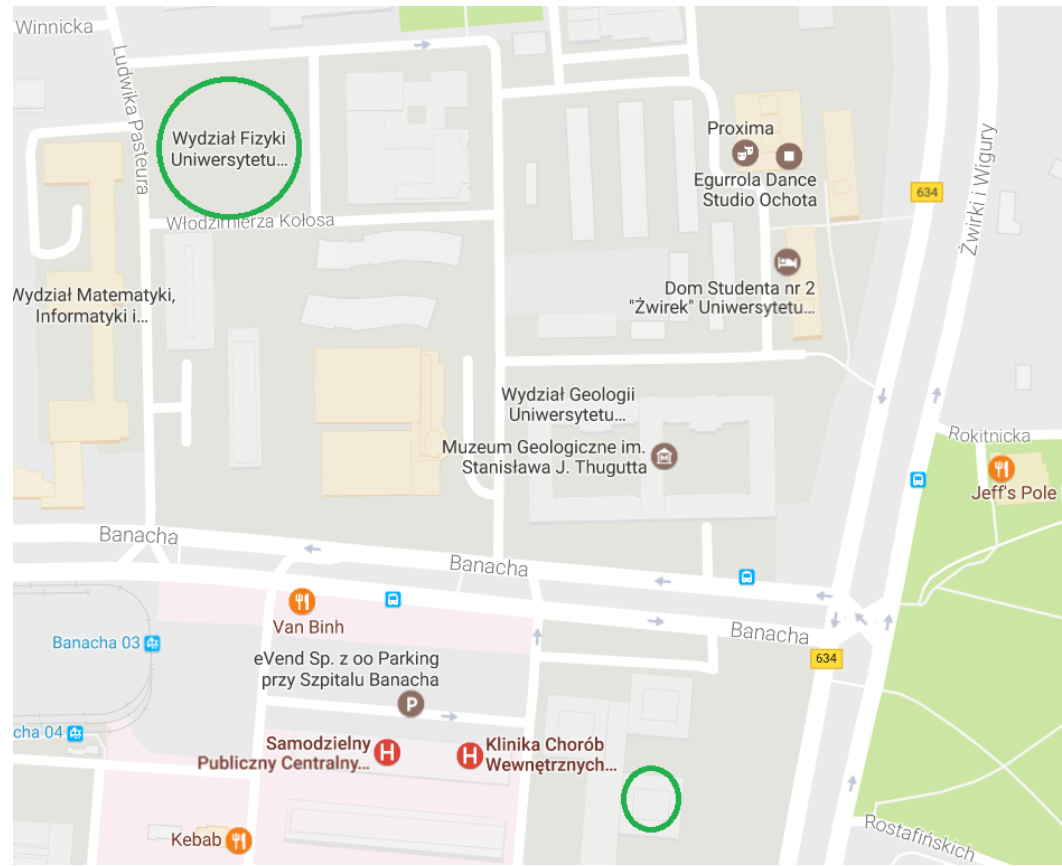
jądrowego w fizyce medycznej i farmacji



**dr n. farm. Łukasz Szeleszczuk
dr n. farm. Dariusz Maciej Pisklak**



Wydział Farmaceutyczny z Oddziałem Medycyny Laboratoryjnej

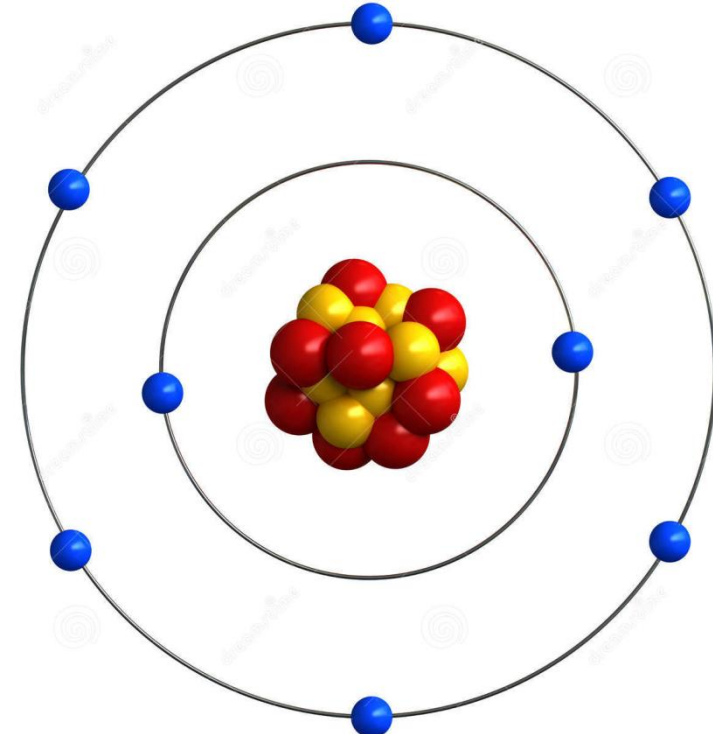


NMR-owskie nagrody Nobla

- 1944 I. I. Rabi – **Fizyka**: za prace na temat wiązek molekularnych, szczególnie metodę rezonansową.
- 1952 F. Bloch i E. M. Purcell – **Fizyka**: za odkrycia w dziedzinie NMR.
- 1991 R. R. Ernst - **Chemia**: za wprowadzenie FT do NMR i za 2D NMR.
- 2002 K. Wüthrich – **Chemia**: za wykorzystanie NMR do badania struktury białek.
- 2003 P. Lauterbur i P. Mansfield – **Medycyna**: za pionierskie prace w dziedzinie obrazowania NMR (MRI).



Spin



NMR

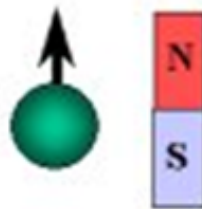
MRJ

MRI

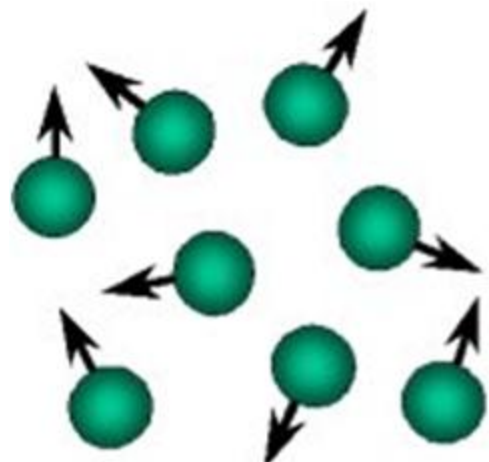
MRS



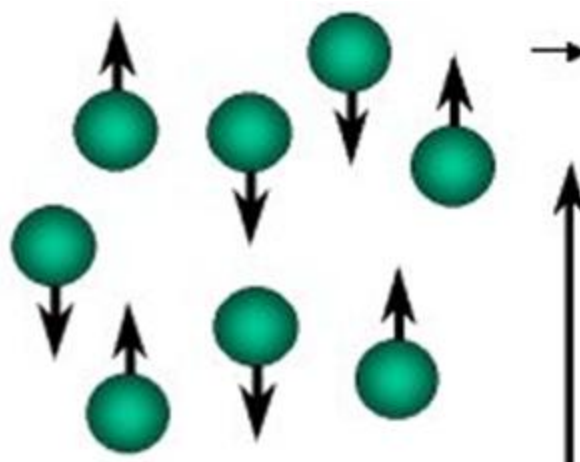
=



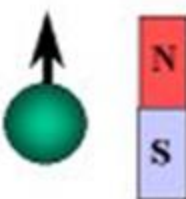
Spin w polu magnetycznym

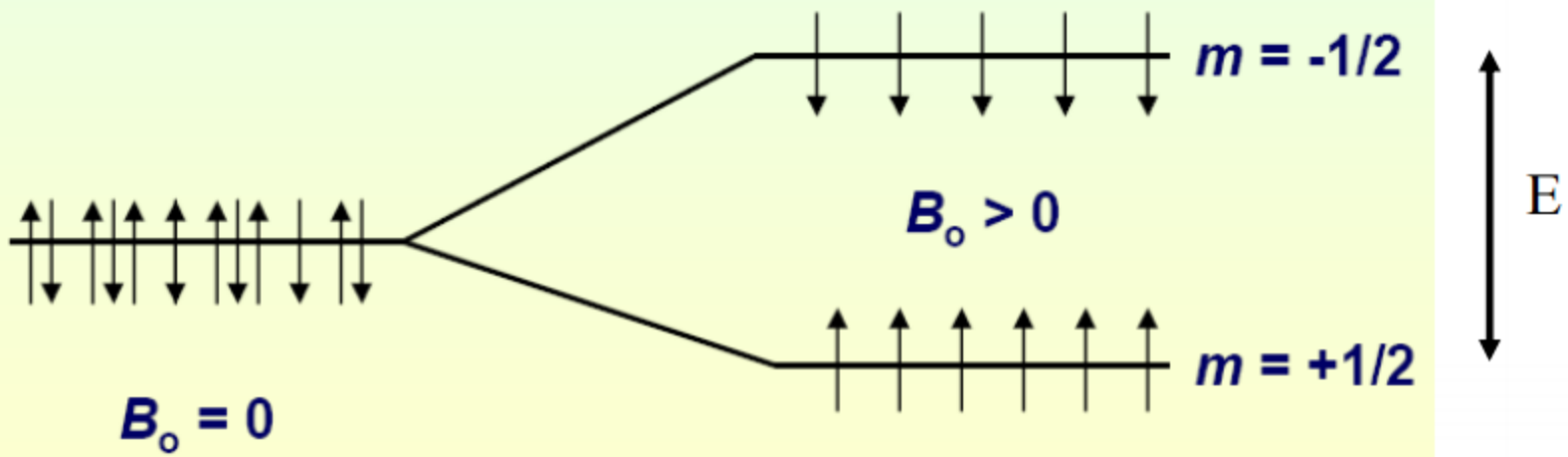


$$\vec{B}_o = 0$$



$$\vec{B}_o > 0$$





Jądrowy efekt Zeemana

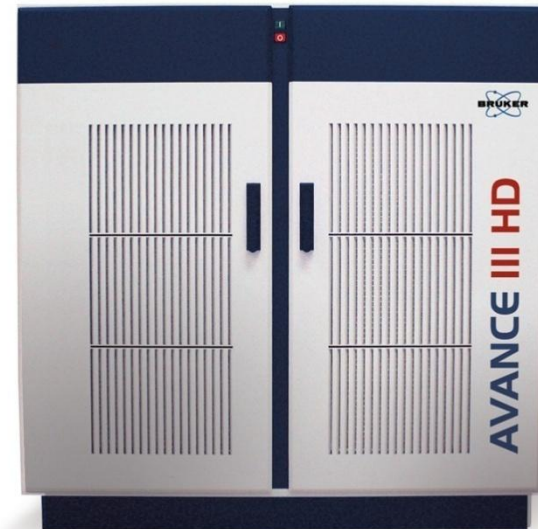
Rodzaje widm cząsteczkowych

Rodzaj widma	Obszar widmowy (λ)	Energia przejść widmowych (J/mol)	Energia przejść widmowych (cm $^{-1}$)	Energia przejść widmowych (s $^{-1}$)
NMR	Fale radiowe 10-100m	$10^{-2} – 10^{-3}$	$10^{-3} – 10^{-4}$	$10^7 – 10^6$
EPR	Mikrofale (1cm)	10	10^0	10^{10}
Rotacyjne	Mikrofale (100 μ m – 1 cm)	$10^3 – 10^0$	$10^2 – 10^1$	$10^{12} – 10^9$
Oscylacyjne	Bliska i średnia podczerwień (1 -50 μ m)	$10^5 – 10^3$	$10^4 – 10^2$	$10^{14} – 10^{12}$
Elektronowe	UV-VIS (100-1000nm)	$10^6 – 10^5$	$10^5 – 10^4$	$10^{15} – 10^{14}$

NMR

Pole magnetyczne +

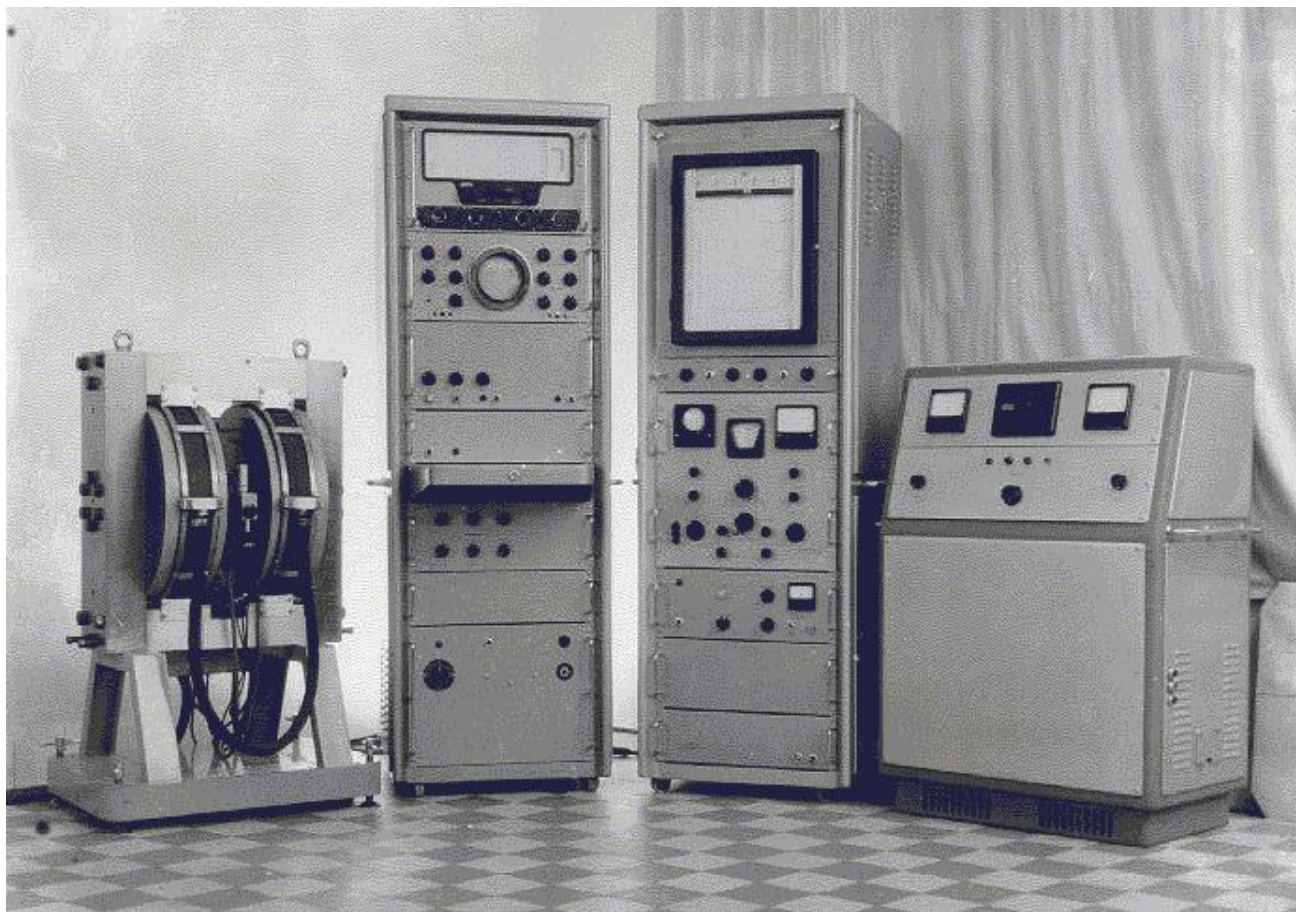
Impulsy elektromagnetyczne



Jakie izotopy można badać

IA	IIA	Spin = $\frac{1}{2}$											VIIIA				
H	Be	Spin > $\frac{1}{2}$											He				
Li	Mg	Na	Al	Si	P	S	Cl	Ar									
K	Ca	Sc	Ti	V	Cr	Mn	Fe	Co	Ni	Cu	Zn	Ga	Ge	As	Se	Br	Kr
Rb	Sr	Y	Zr	Nb	Mo	Tc	Ru	Rh	Pd	Ag	Cd	In	Sn	Sb	Te	I	Xe
Cs	Ba	La	Hf	Ta	W	Re	Os	Ir	Pt	Au	Hg	Tl	Pb	Bi	Po	At	Rn
Fr	Rd	Ac	Ce	Pr	Nd	Pm	Sm	Eu	Gd	Tb	Dy	Ho	Er	Tm	Yb	Lu	
			Th	Pa	U	Np	Pu	Am	Cm	Bk	Cf	Es	Fm	Md	No	Lr	

PIERWSZE SPEKTROMETRY NMR

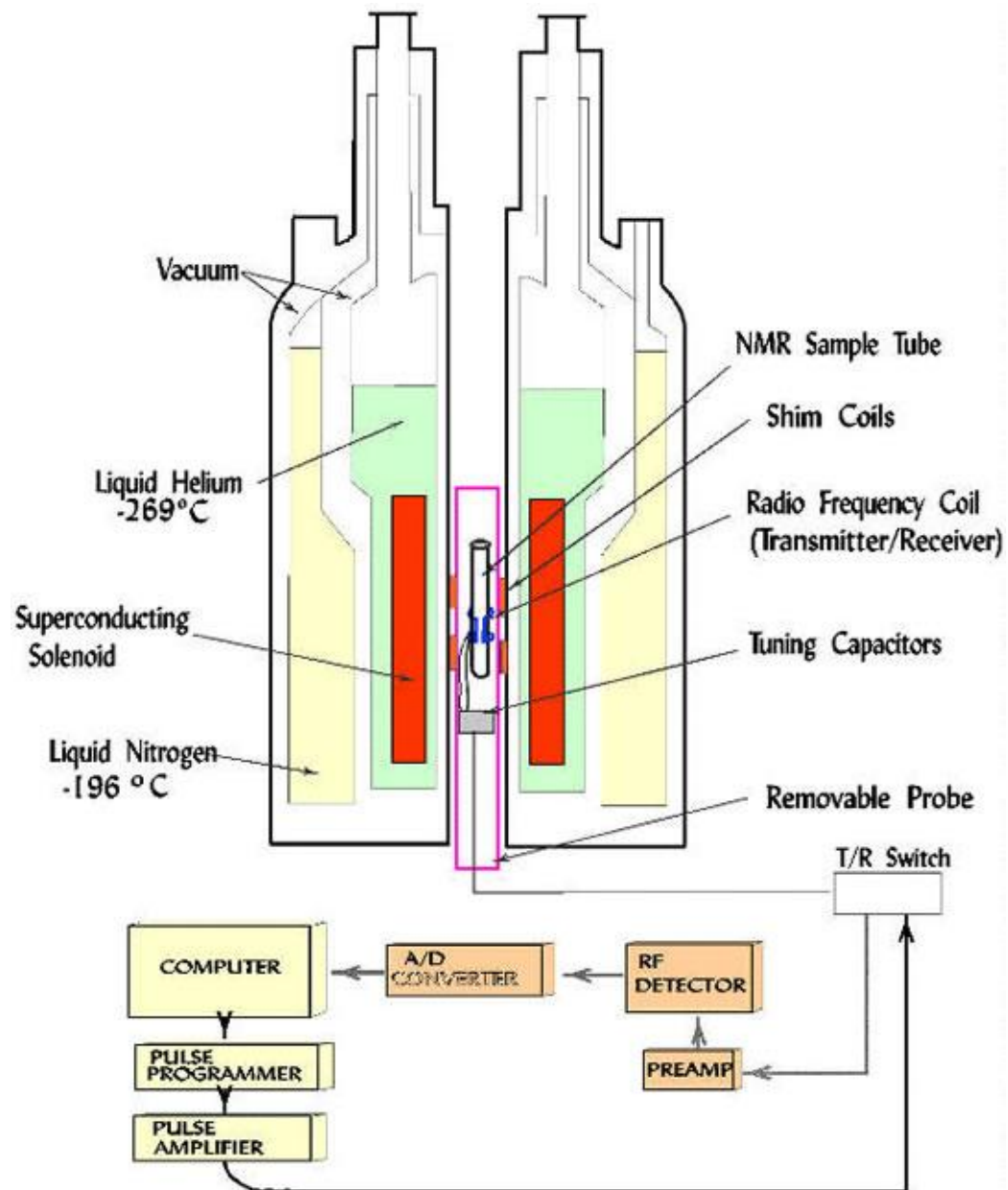


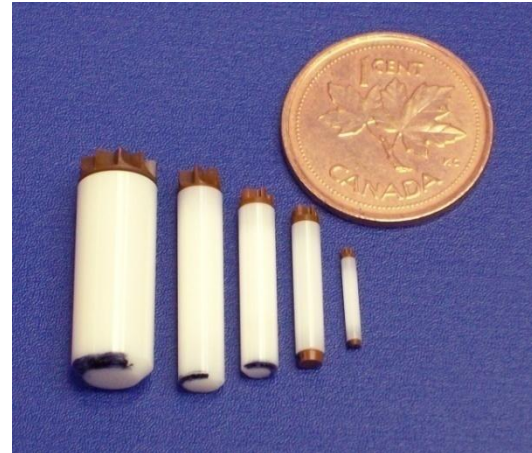
NMR na farmacji



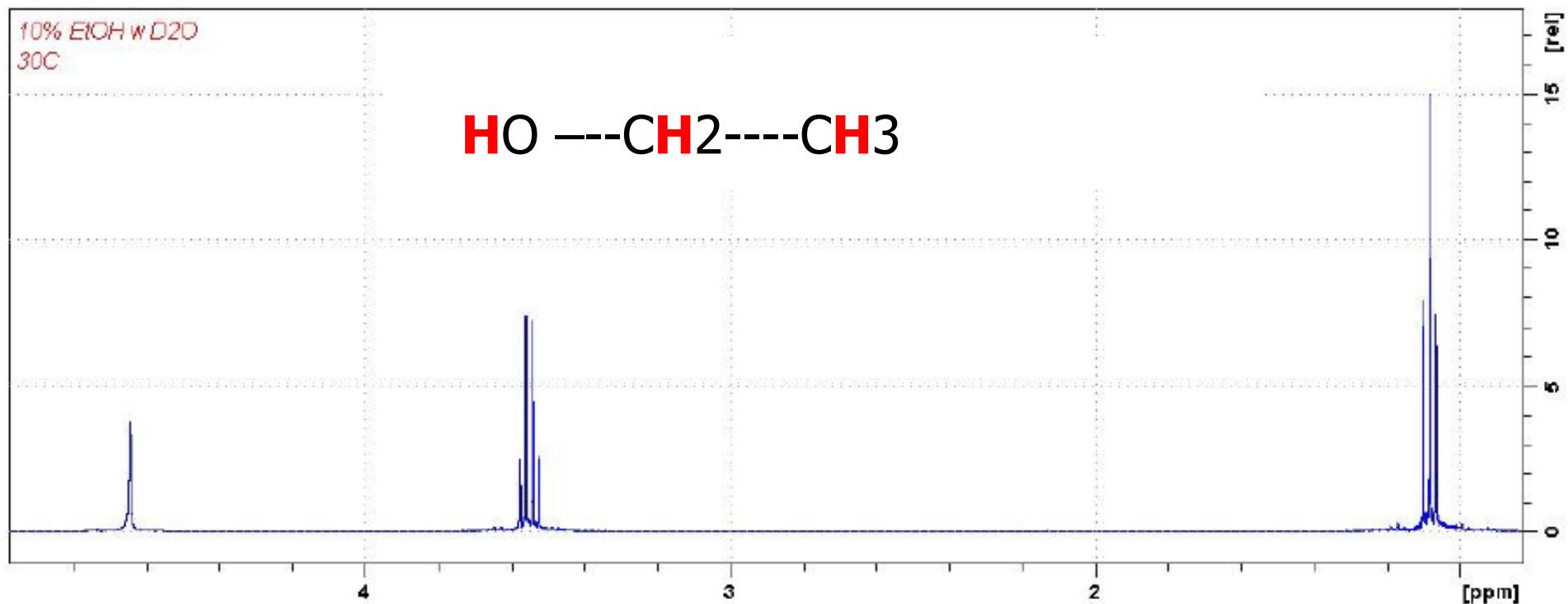
Najnowsze spektrometry NMR







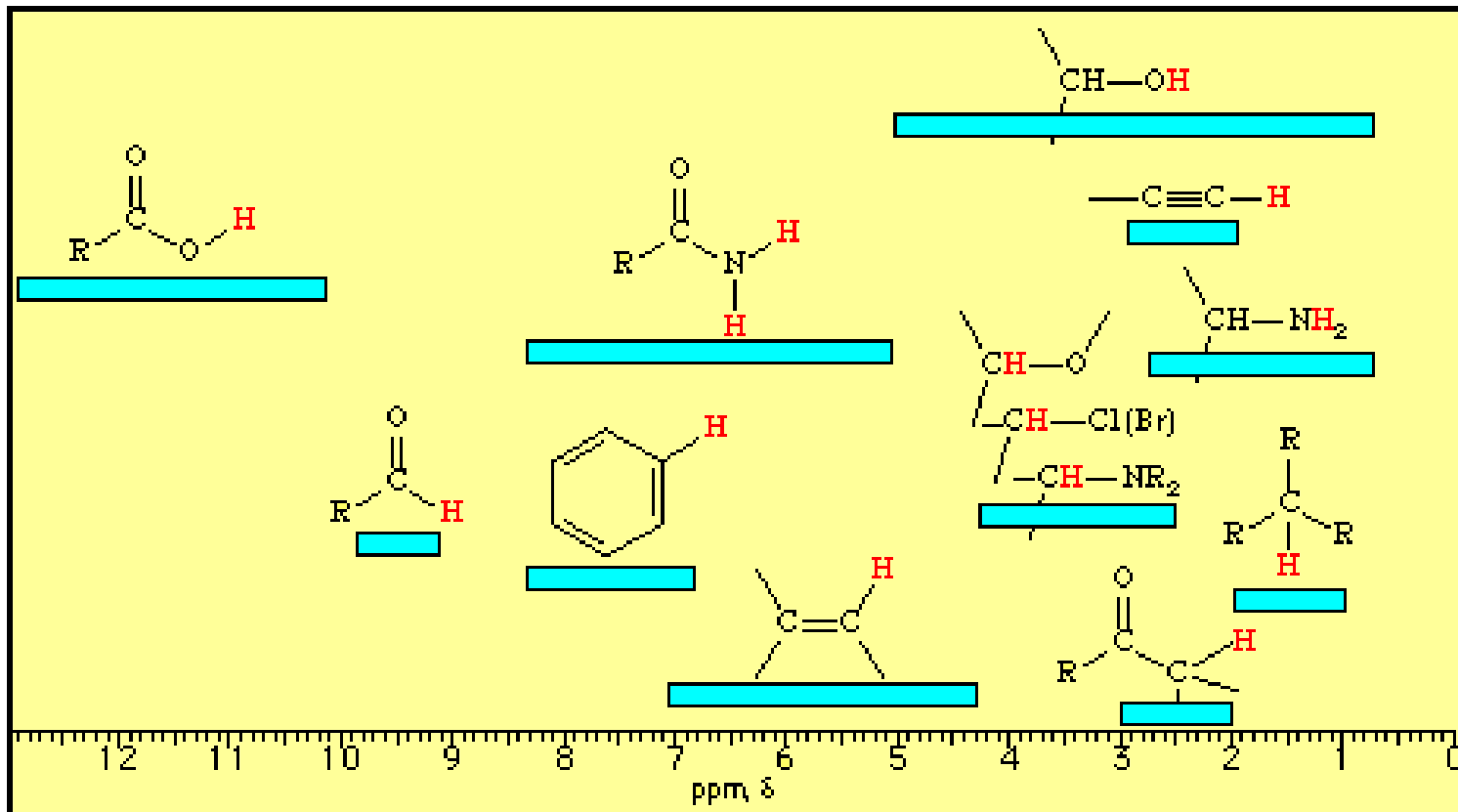
Widmo 1H NMR



$$\Delta E = h\nu = \gamma \hbar B_0 (1 - \sigma)$$

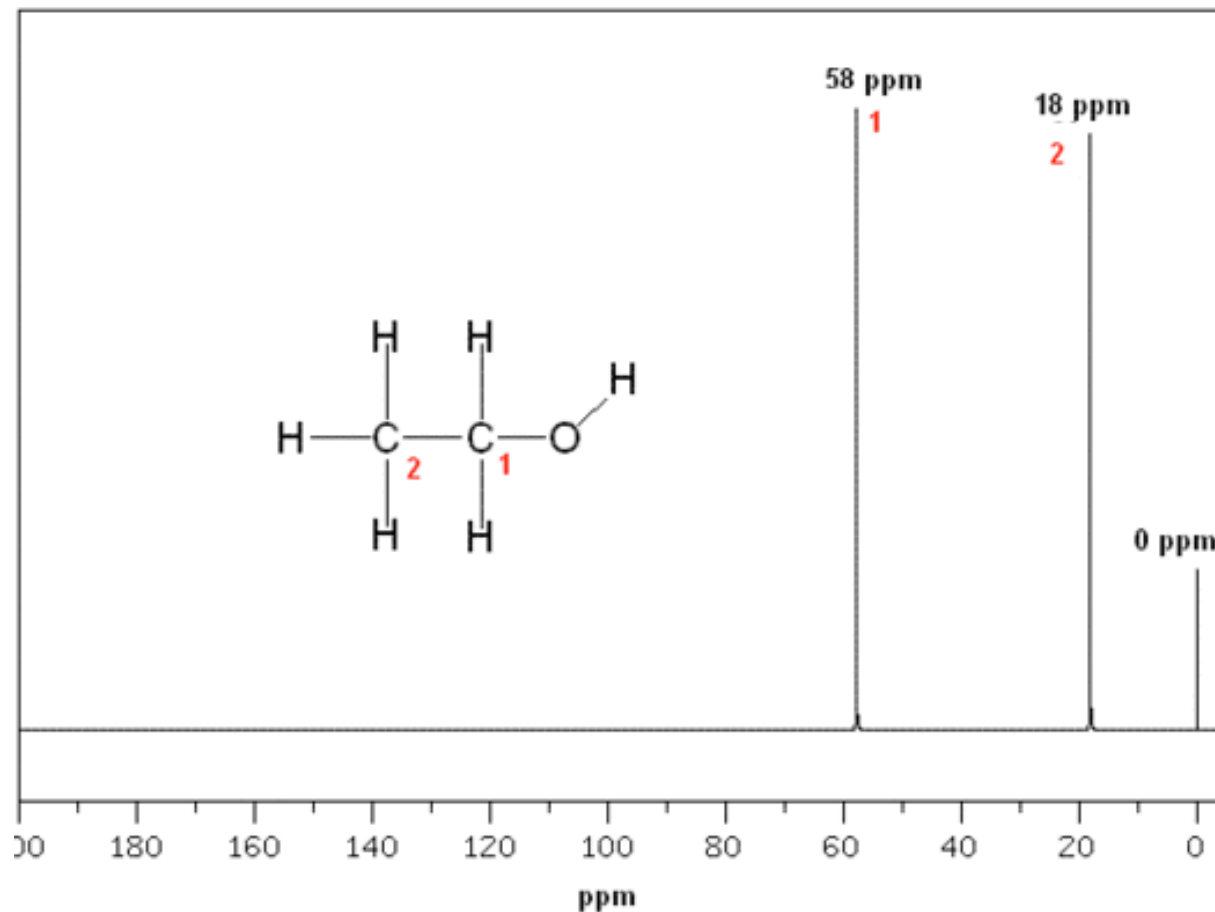
Przesunięcie chemiczne

informacja o strukturze molekuły



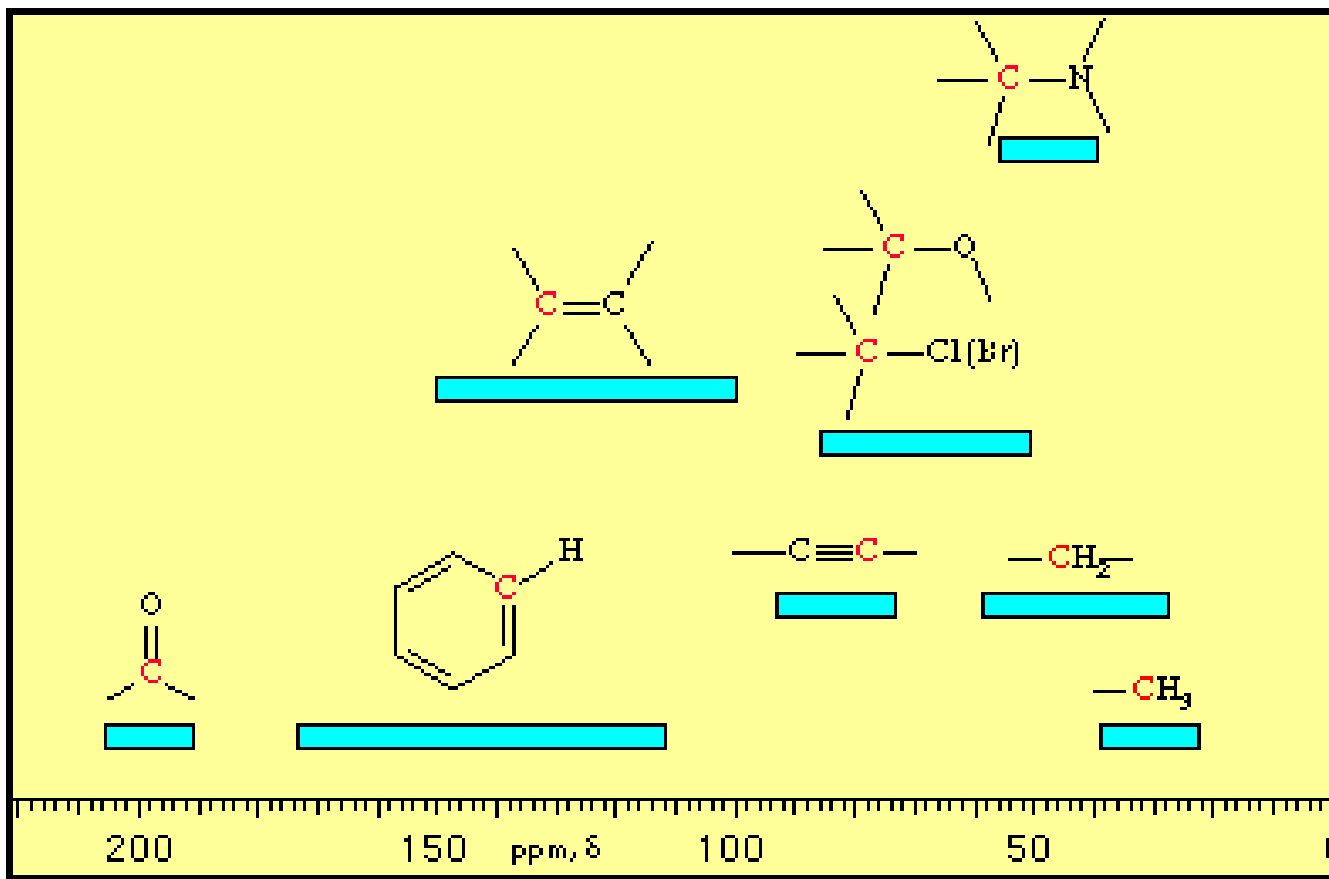
$$\Delta E = h\nu = \gamma \hbar B_0 (1 - \sigma)$$

Widma 13C NMR

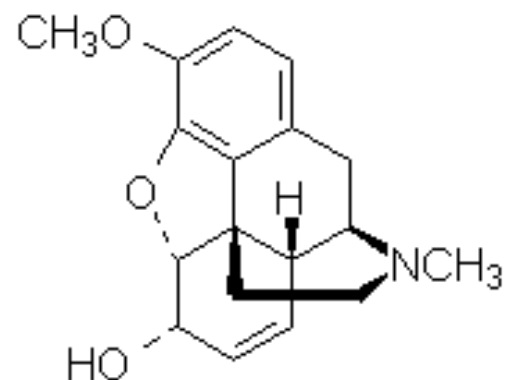


13C NMR

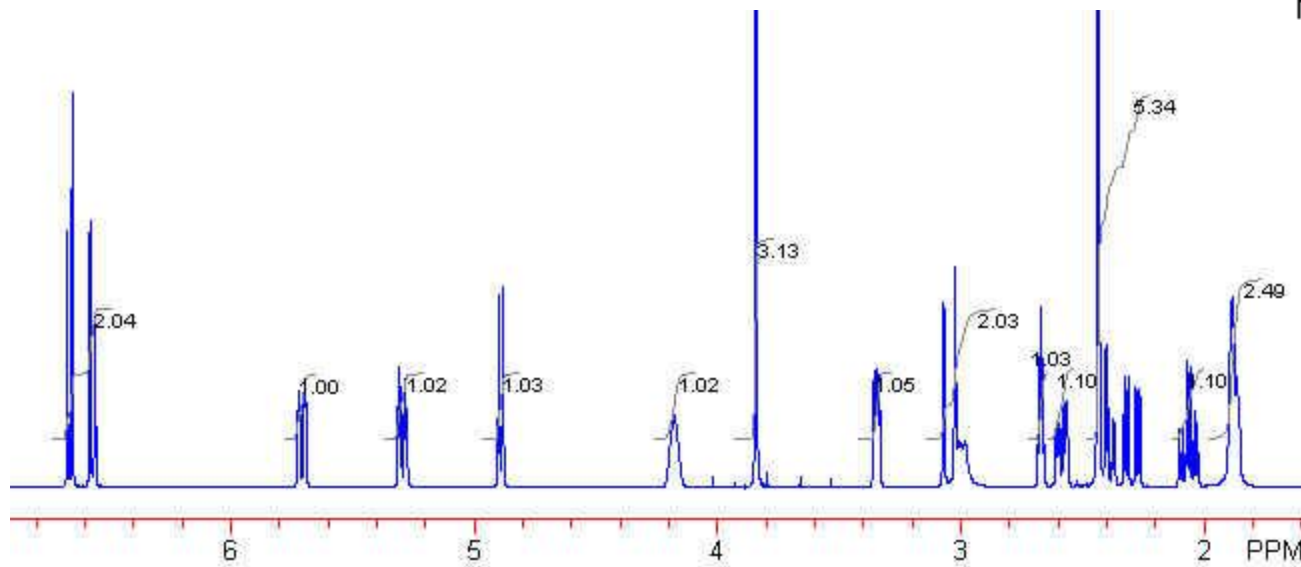
Przesunięcia chemiczne



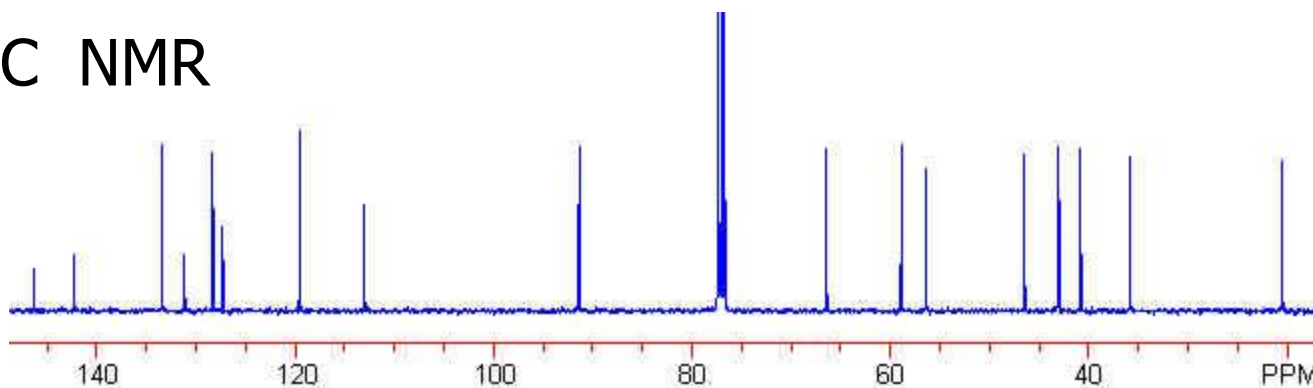
Kodeina widma NMR



¹H NMR

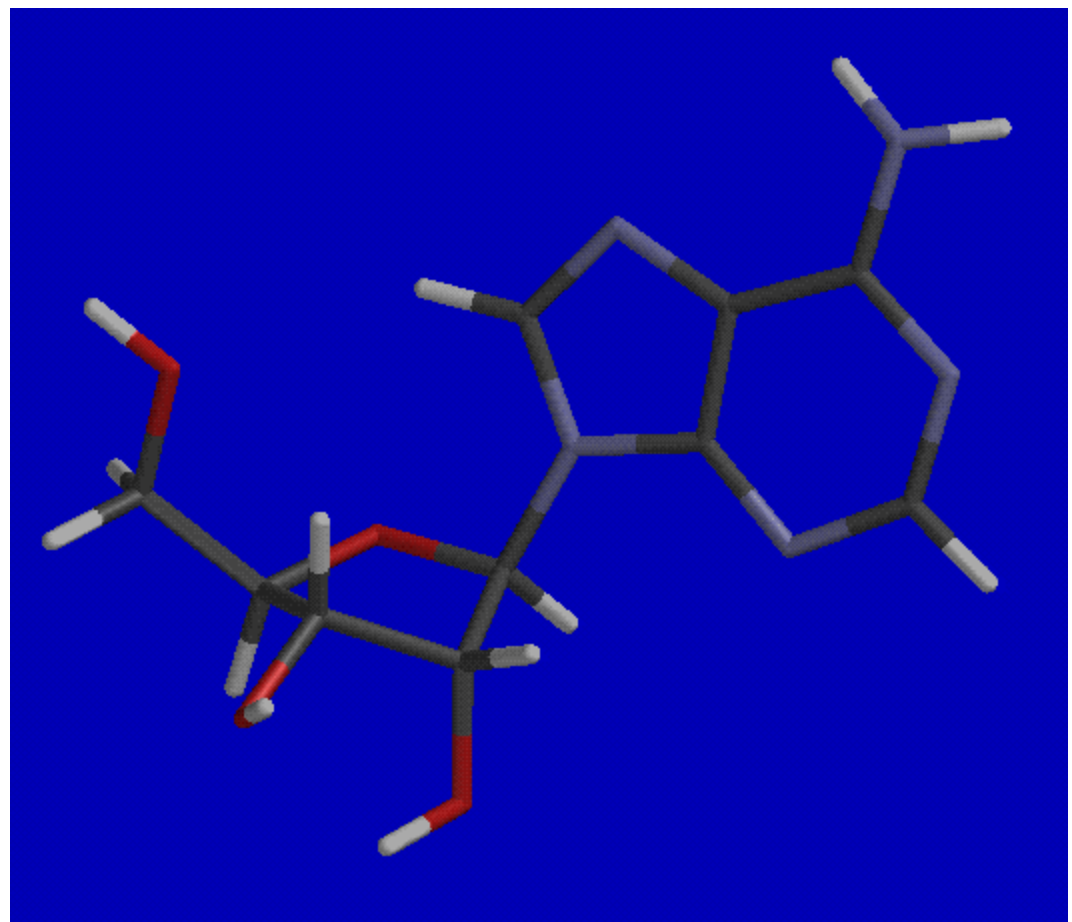


¹³C NMR

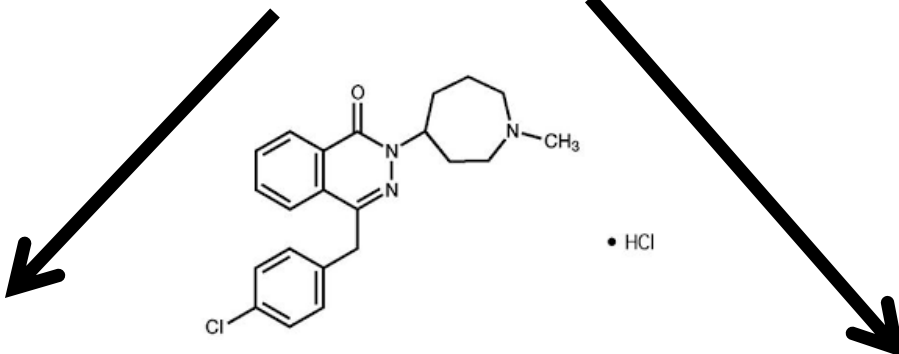


NMR - struktura i konformacja

C_xH_yO_z → **NMR**



NMR



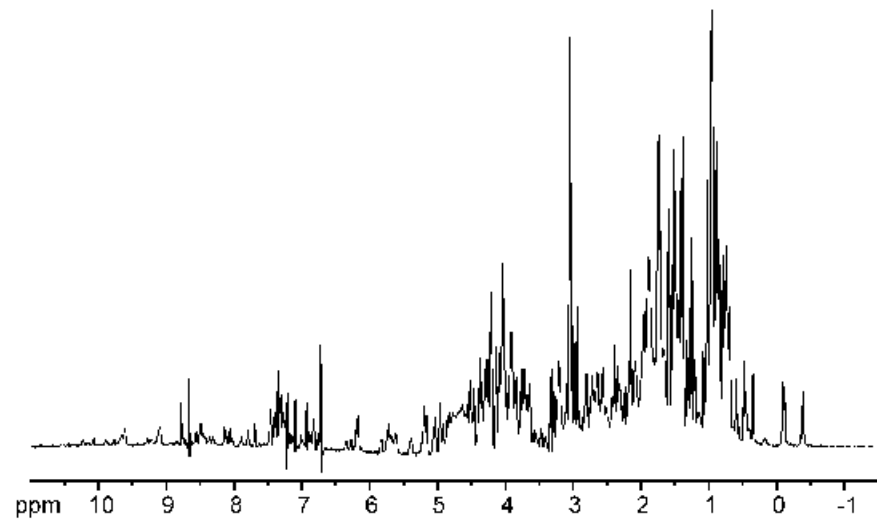
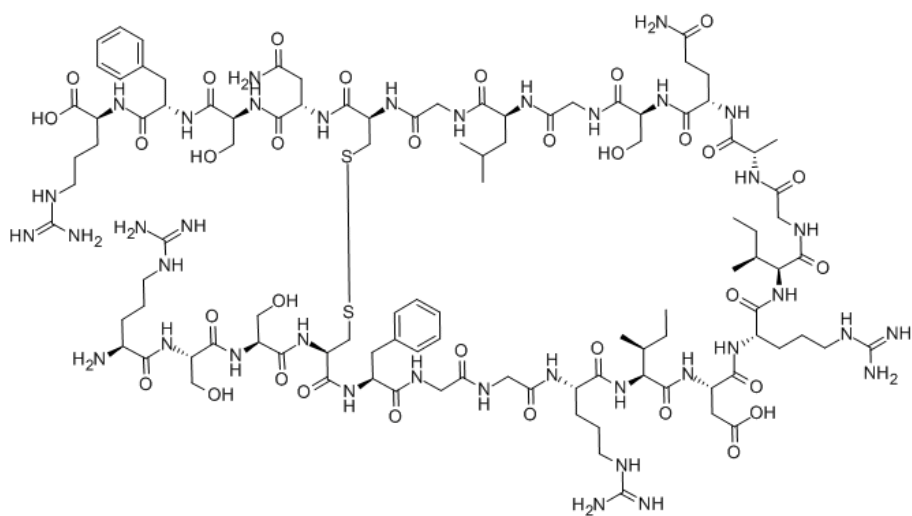
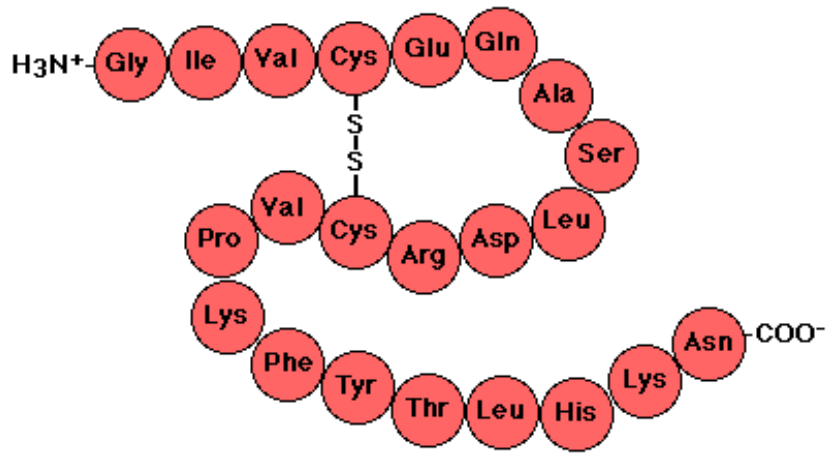
Związki syntetyczne



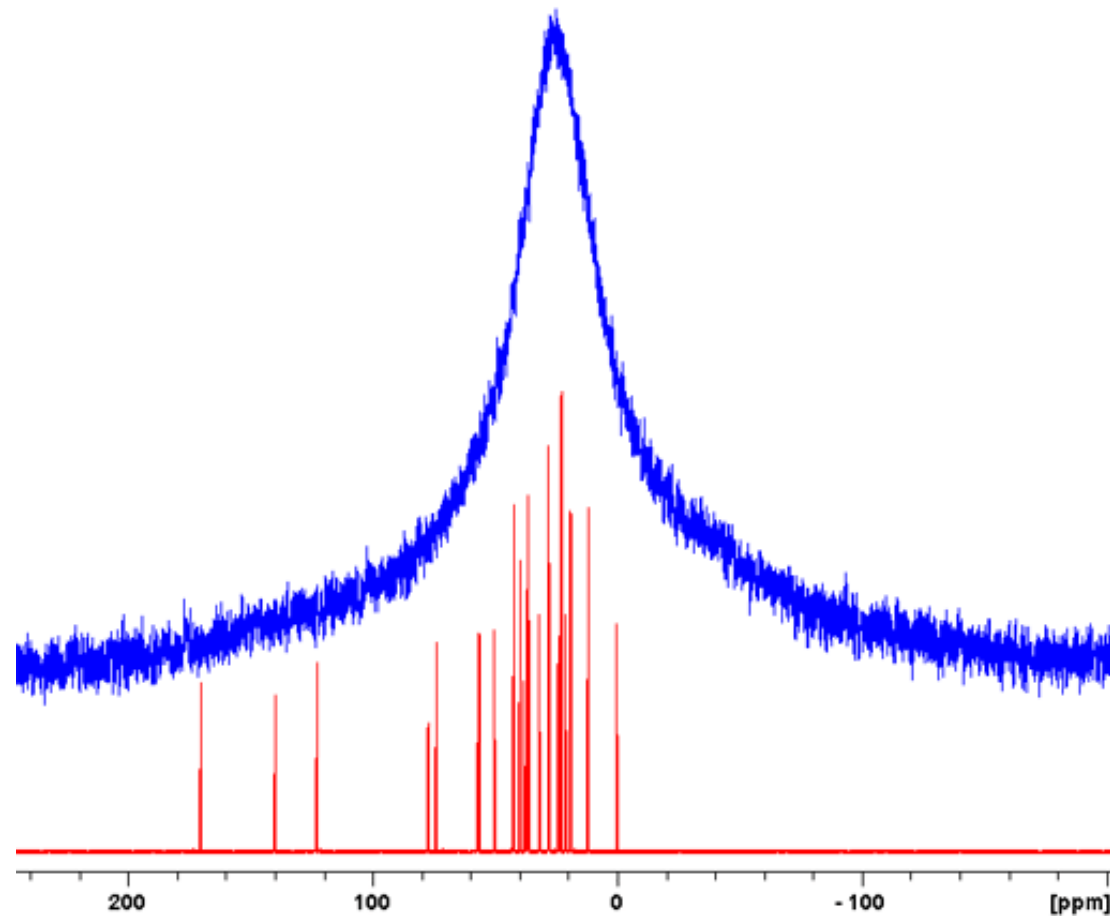
Związki naturalne



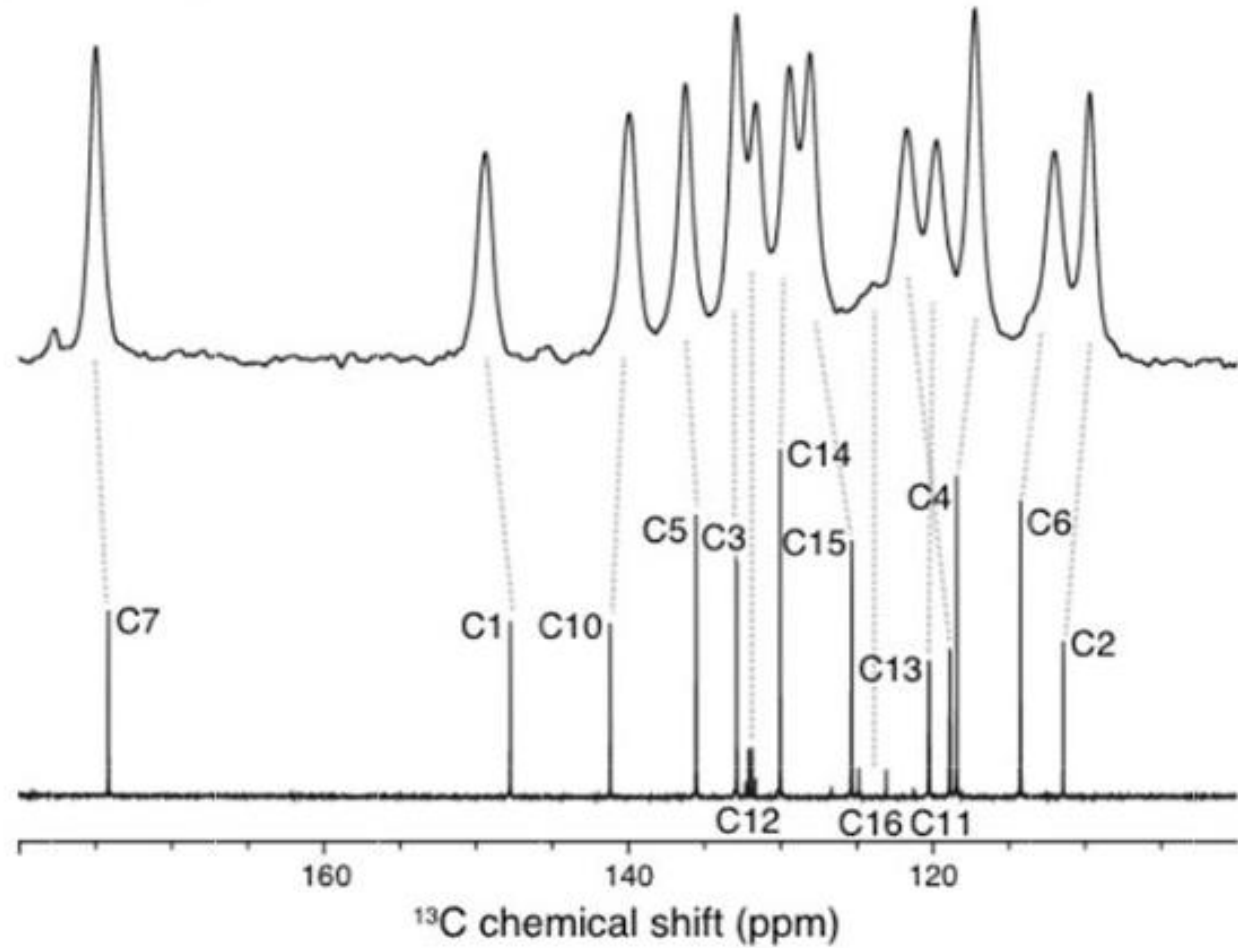
NMR białek



NMR w ciele stałym



Widma MAS NMR



Spektroskopia ^{13}C NMR wysokiej zdolności rozdzielczej

w ciele stałym $\equiv ^{13}\text{C CP/MAS NMR}$



Wirowanie próbki pd kątem magicznym – akronim **MAS**

od ang. **Magic-Angle Spinning**



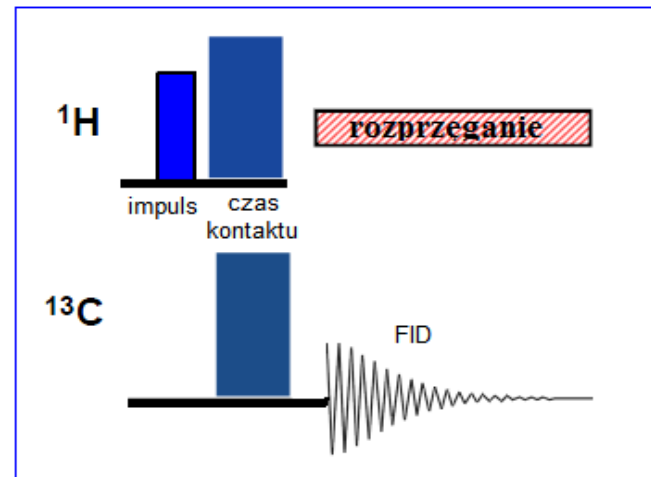
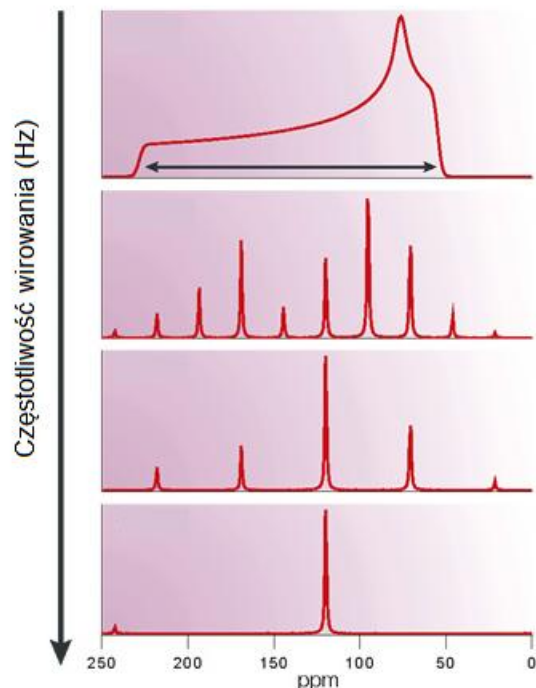
Rozprzeganie protonów rezonansowym promieniowaniem

radiowym o wysokiej mocy

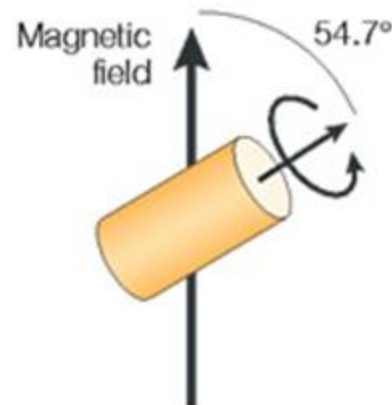
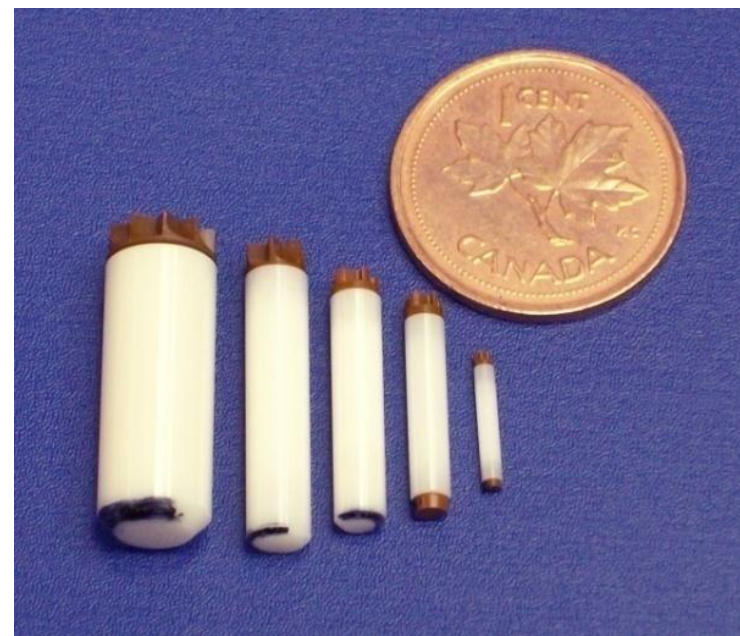
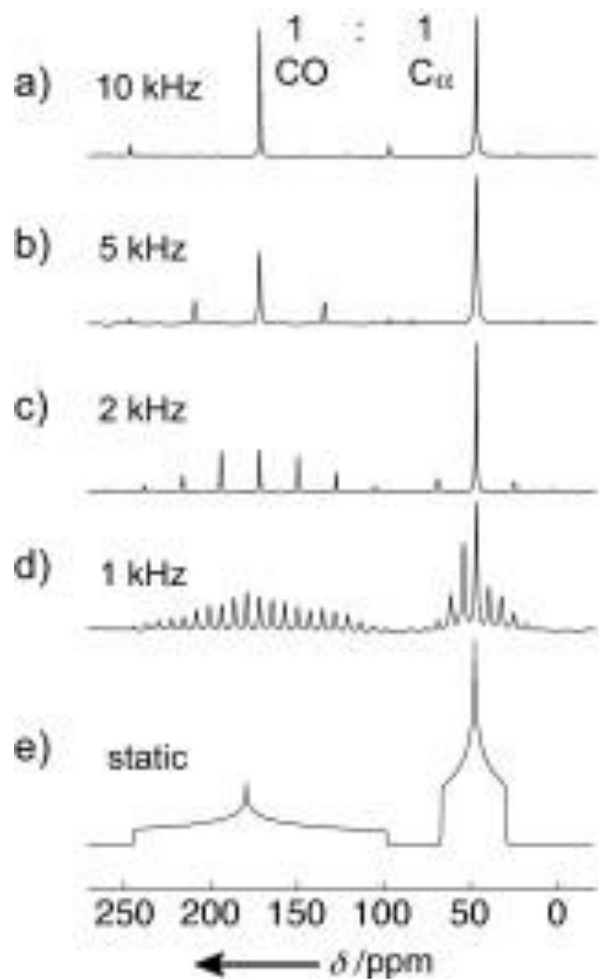
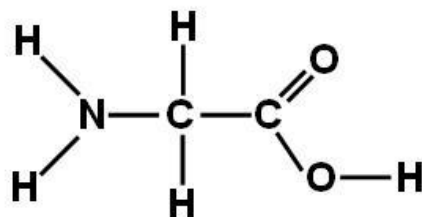


Polaryzacja skrośna – akronim **CP**

od ang. **Cross - Polarization**

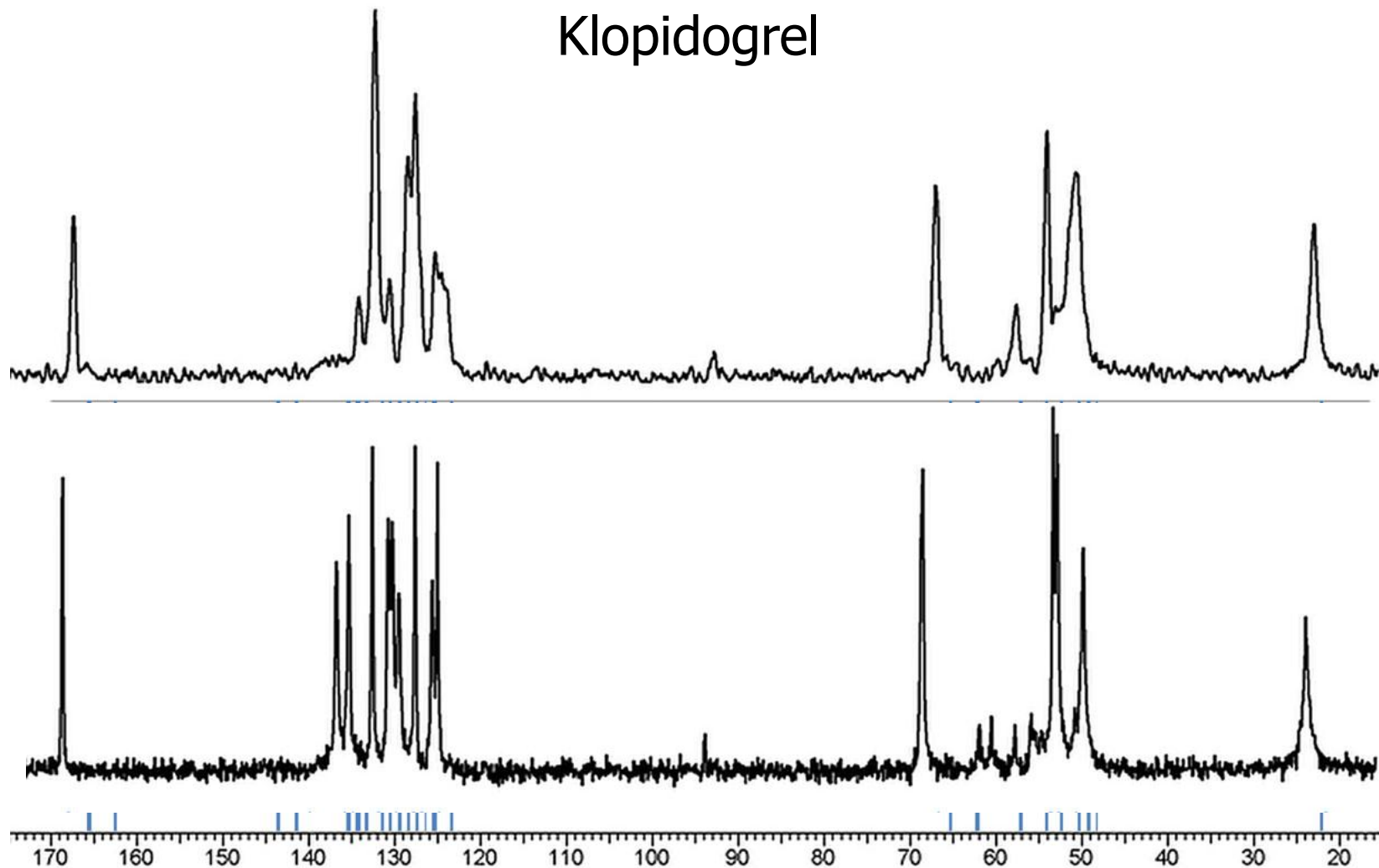


Wirowanie próbki pod kątem magicznym



Badania polimorfizmu substancji leczniczych

Klopidogrel



GIPAW-CASTEP

Calculating NMR shielding tensors using pseudopotentials

A uniform external magnetic field, \mathbf{B} , applied to a sample induces an electric current. In an insulating non-magnetic material, only the orbital motion of the electrons contributes to this current. In addition, for the field strengths typically used in NMR experiments, the induced electric current is proportional to the external field, \mathbf{B} . This first-order induced current, $\mathbf{j}^{(1)}(\mathbf{r})$, produces a non-uniform magnetic field:

Eq. CASTEP 42

$$\mathbf{B}_{\text{int}}^{(1)}(\mathbf{r}) = \frac{1}{c} \int d^3r' \mathbf{j}^{(1)}(\mathbf{r}') \times \frac{\mathbf{r} - \mathbf{r}'}{|\mathbf{r} - \mathbf{r}'|^3}$$

The shielding tensor, $\sigma(\mathbf{r})$, connects the induced magnetic field to the applied magnetic field:

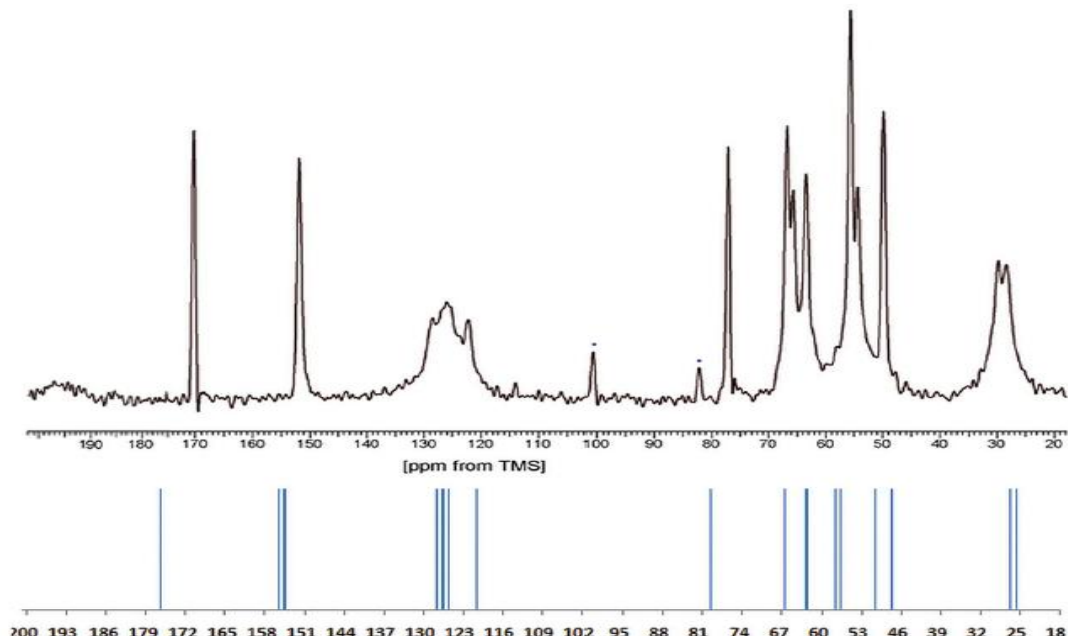
Eq. CASTEP 43

$$\mathbf{B}_{\text{int}}^{(1)}(\mathbf{r}) = -\overset{\leftrightarrow}{\sigma}(\mathbf{r}) \mathbf{B}$$

and the isotropic shielding is given by:

Eq. CASTEP 44

$$\sigma(\mathbf{r}) = \frac{\text{Tr}[\overset{\leftrightarrow}{\sigma}(\mathbf{r})]}{3}$$



Klopidogrel

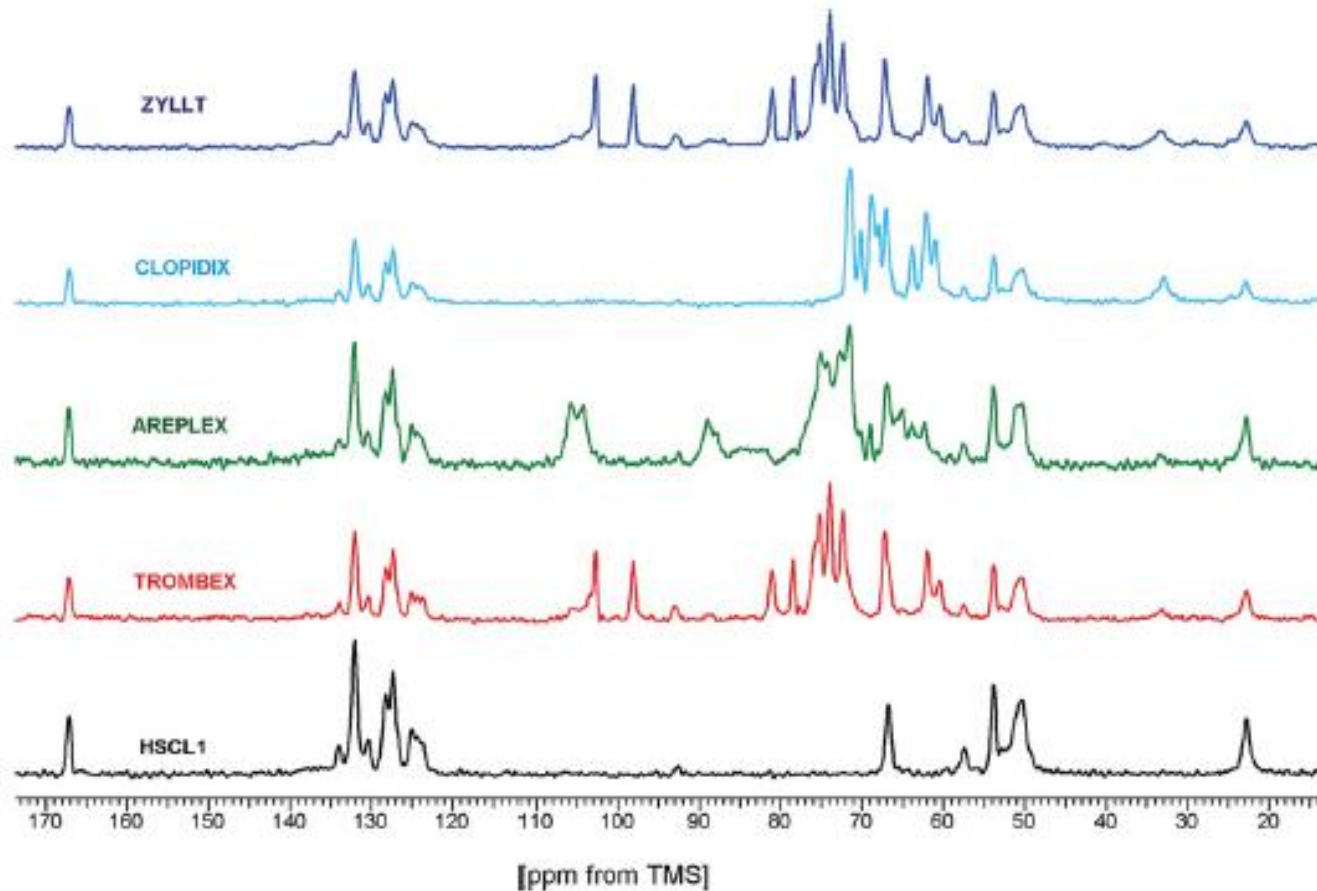
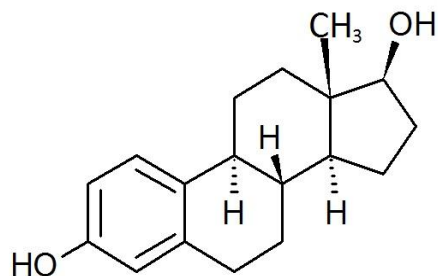
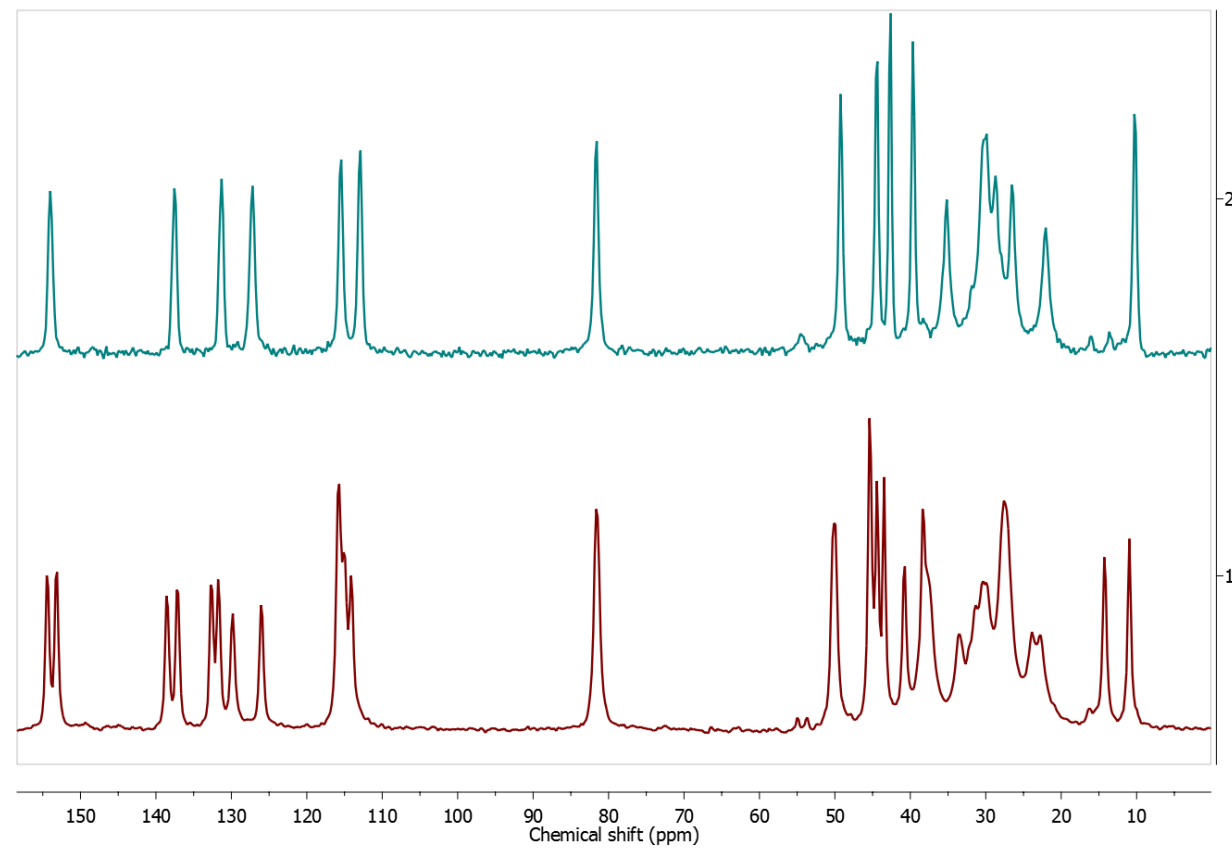
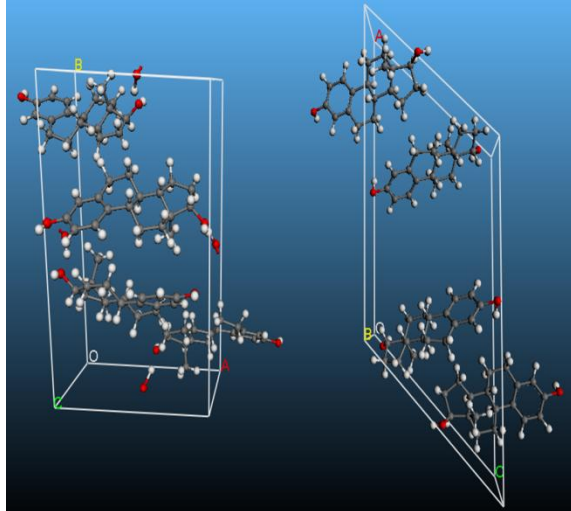


Figure 4. ^{13}C CP/MAS NMR spectra of HSCL 1 containing tablets (ZYLLT®, CLOPIDIX®, AREPLEX, and TROMBEX®).

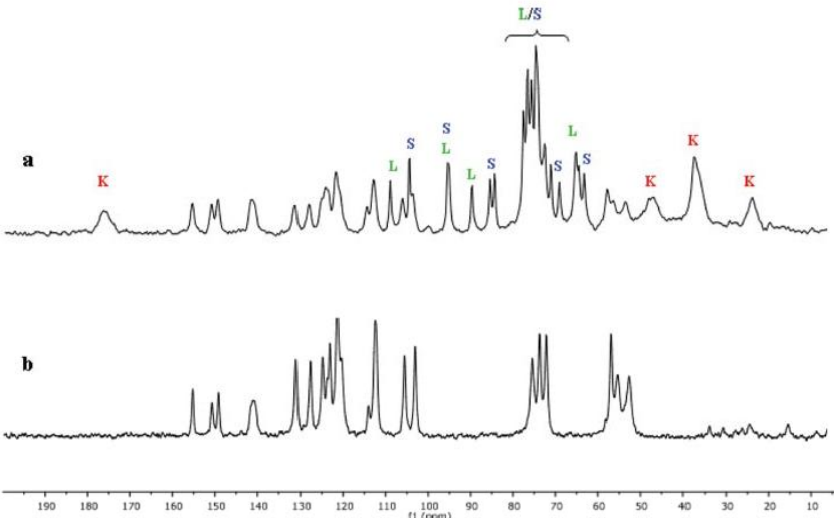
Badania polimorfizmu substancji leczniczych



Estradiol



Formulacje farmaceutyczne



SFAŁSZOWANE LEKI ZABIJAJĄ



Co to są sfalszowane produkty lecznicze?

Sfalszowane produkty lecznicze są to udające leki, nielegalnie wyprowadzane, nigdzie nie przedbane produkty.

Zawierają dużą ilość wysokotoksycznych zanieczyszczeń, które są bardzo niebezpieczne dla ludzkiego organizmu.

Często działają zbyt słabo, niedopowiednio lub nie działają wcale, z uwagi na niewłaściwą ilość, brak lub inną niż podana na opakowaniu substancji czynnej.

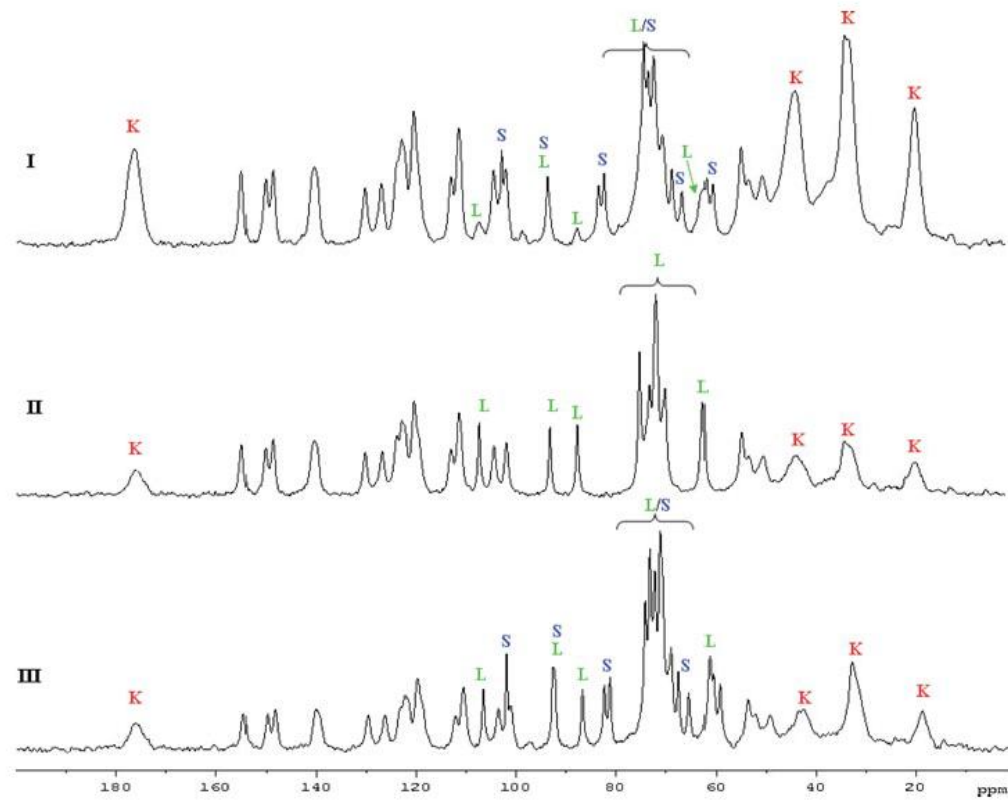
Jak się ustrzec przed zakupem sfalszowanych produktów leczniczych?

PRODUKTY LEcznicze KUPUJ TYLKO W MIEJSZACH DO TEGO UPRAWNIONYCH !!!

NIGDY NIE KUPUJ LEKÓW NA BAZARACH W SIŁOWNIACH, KLUBACH FITNESS CZY W SEKSOPACACH !!!

POLSKIE PRAWO ZABRZMIAŁO SPRAWDZAJ PRZEZ INTERNET LERÓW WYDAWANYCH NA RECEPTĘ.

PAMIĘTAJ !!!
ZAŻYWANIE LEKÓW
NIEWIADOMEGO
POCHODZENIA
JEST NIEBEZPIECZNE
DLA CIEBIE
I TWOJICH BLISKICH



„Chromatografia” NMR

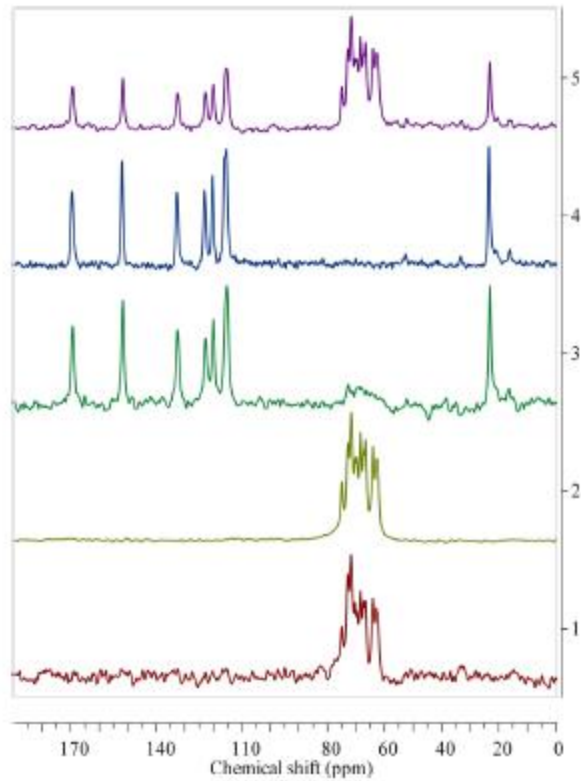


Fig. 4. ^{13}C ssNMR analysis of APAP Junior granules: (5) $ns = 16$; standard ^{13}C CP/MAS NMR spectrum of APAP Junior, (4) $ns = 256$; standard ^{13}C CP/MAS NMR spectrum of pure acetaminophen, (3) $ns = 160$; ^{13}C pre-CP inversion recovery spectrum of APAP Junior; $\tau = 6\text{s}$, $(2)ns = 24$; standard ^{13}C CP/MAS NMR spectrum of pure sorbitol, (1) $ns = 160$; ^{13}C pre-CP inversion recovery spectrum of APAP junior; $\tau = 12\text{s}$.

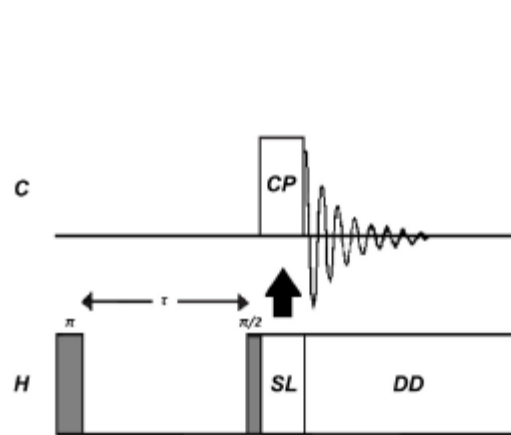
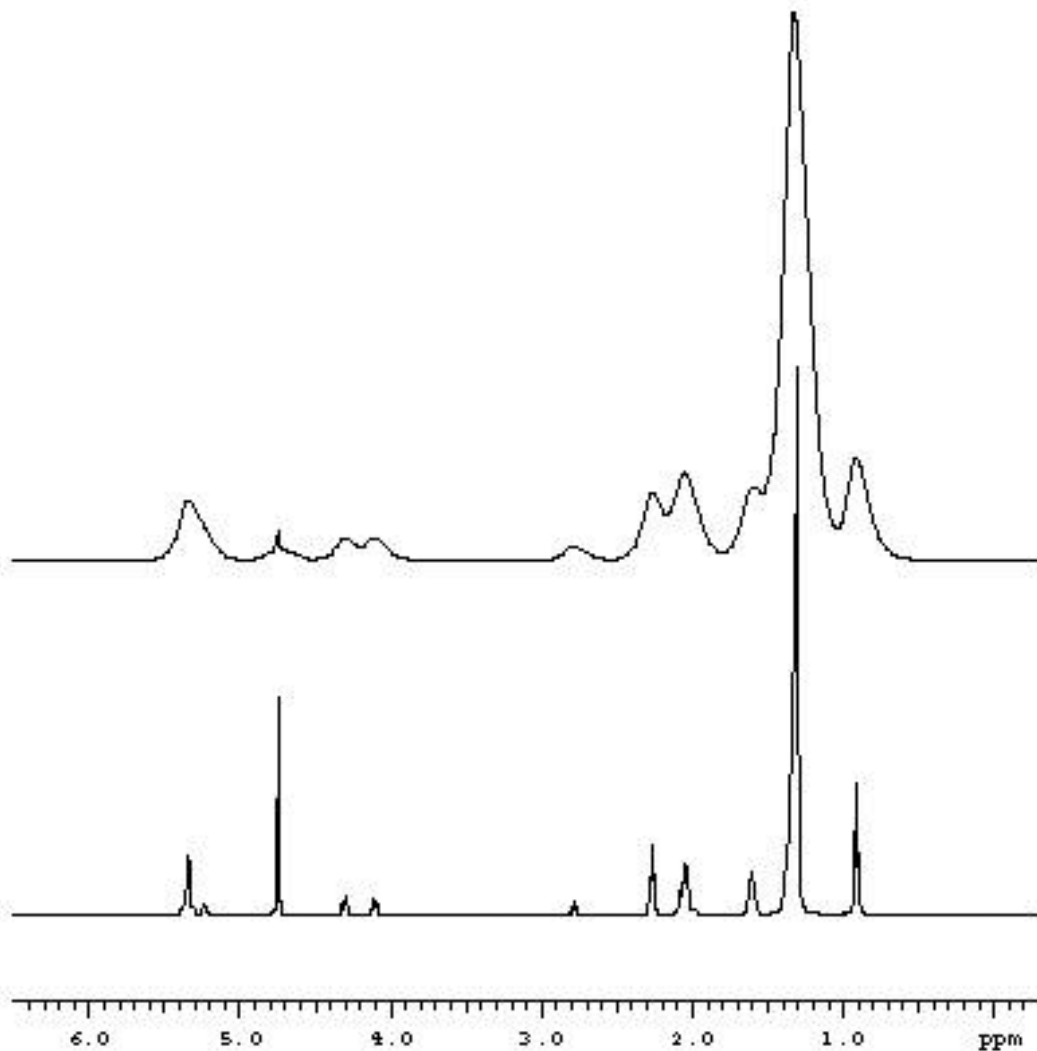
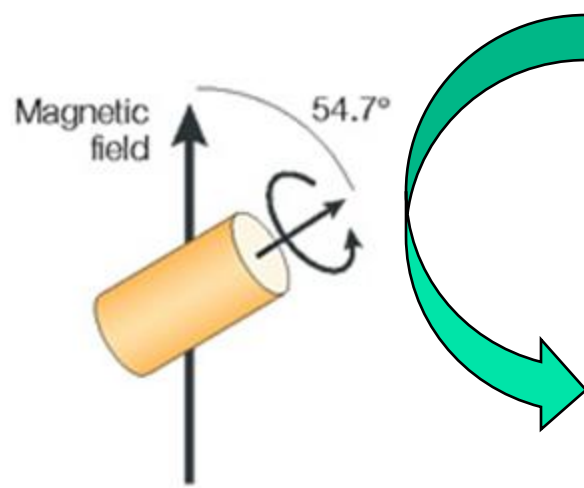


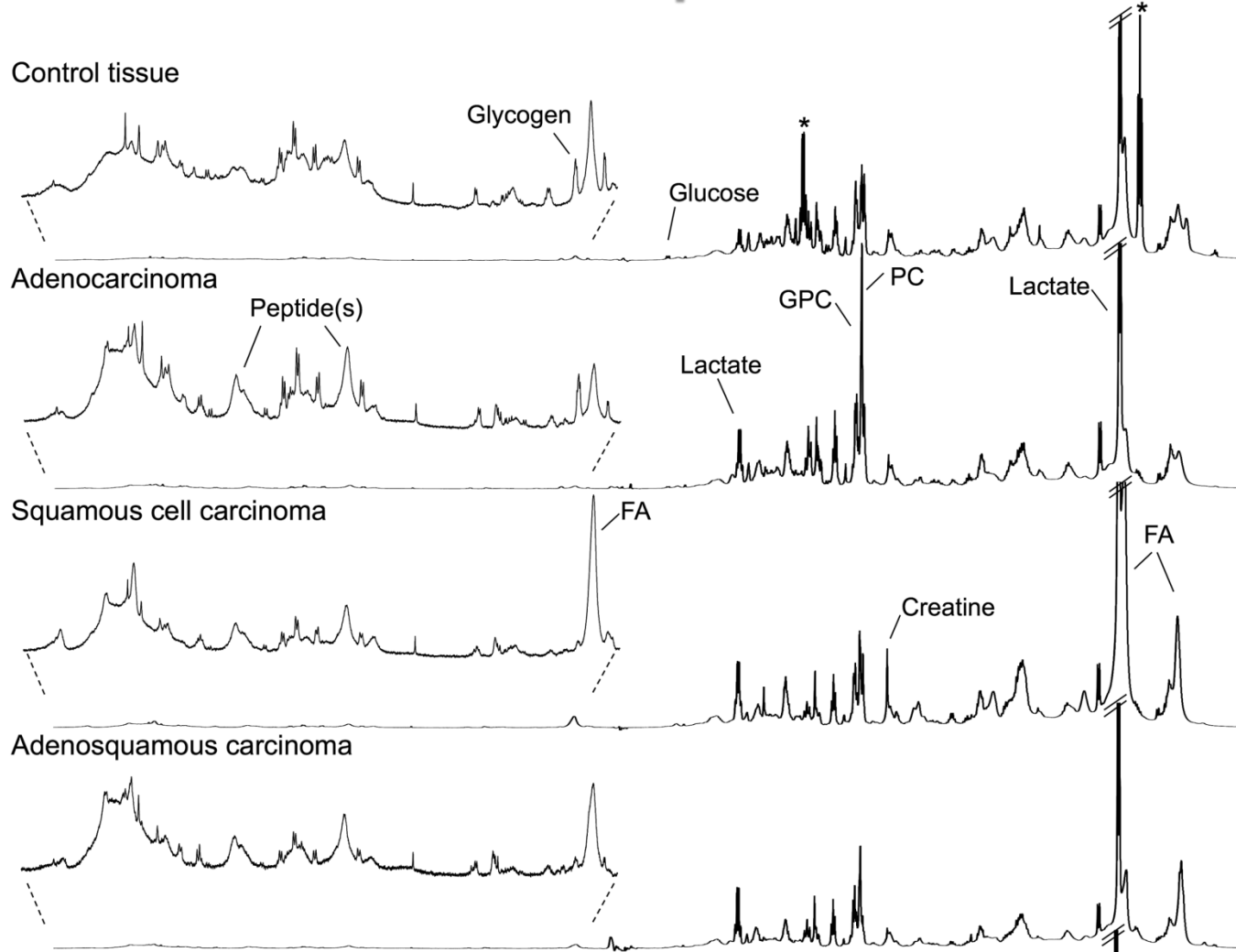
Fig. 1. Pre-CP inversion recovery sequence (SL—Spin Lock, CP—Cross Polarization, DD—Dipolar Decoupling).

HRMAS NMR - metabolomika NMR



Diagnostyka NMR

Rak płuca

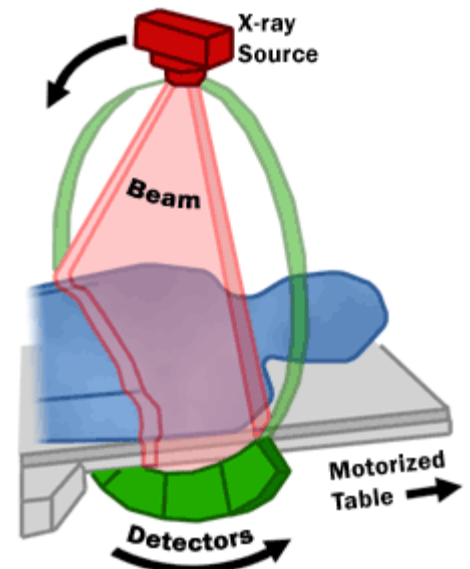


Tomografia MRI

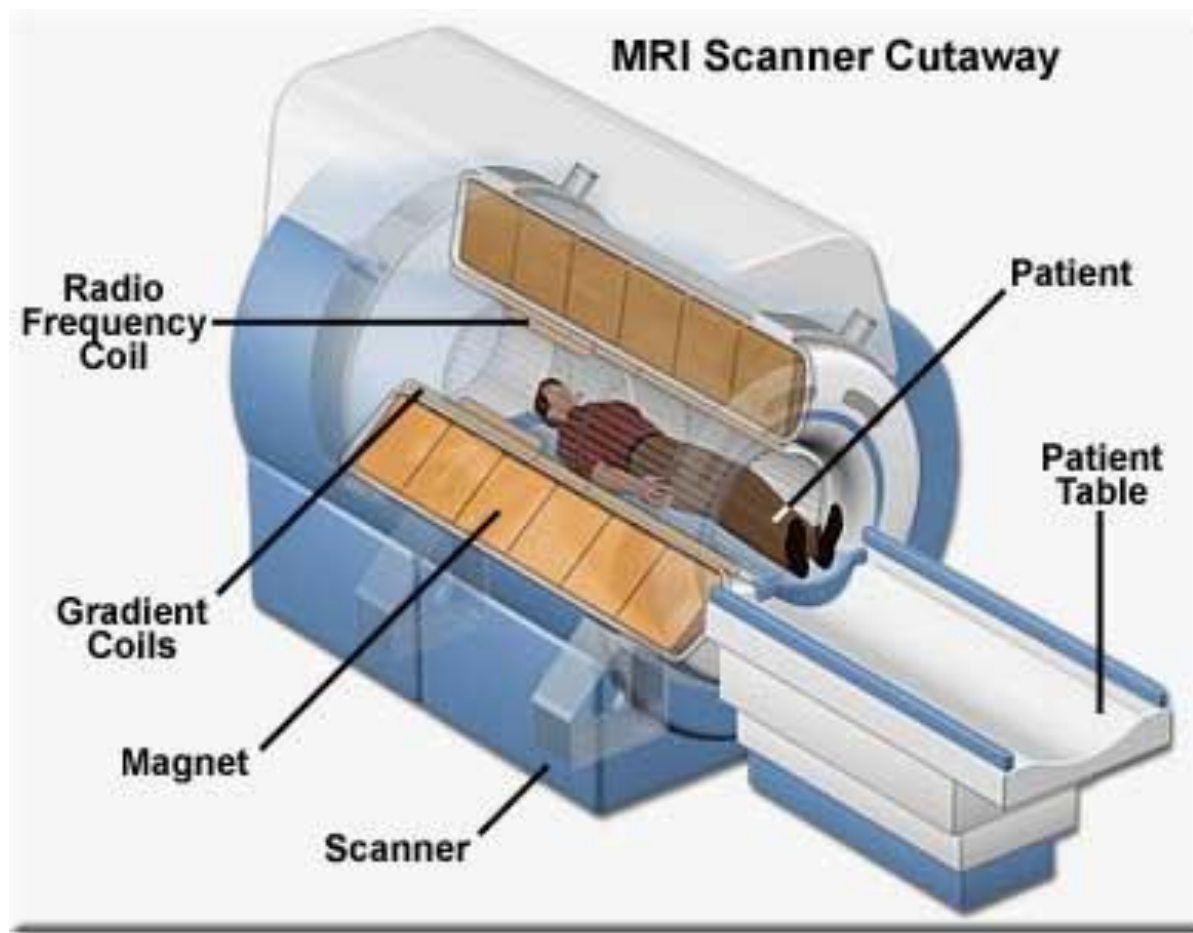


Tomografia komputerowa

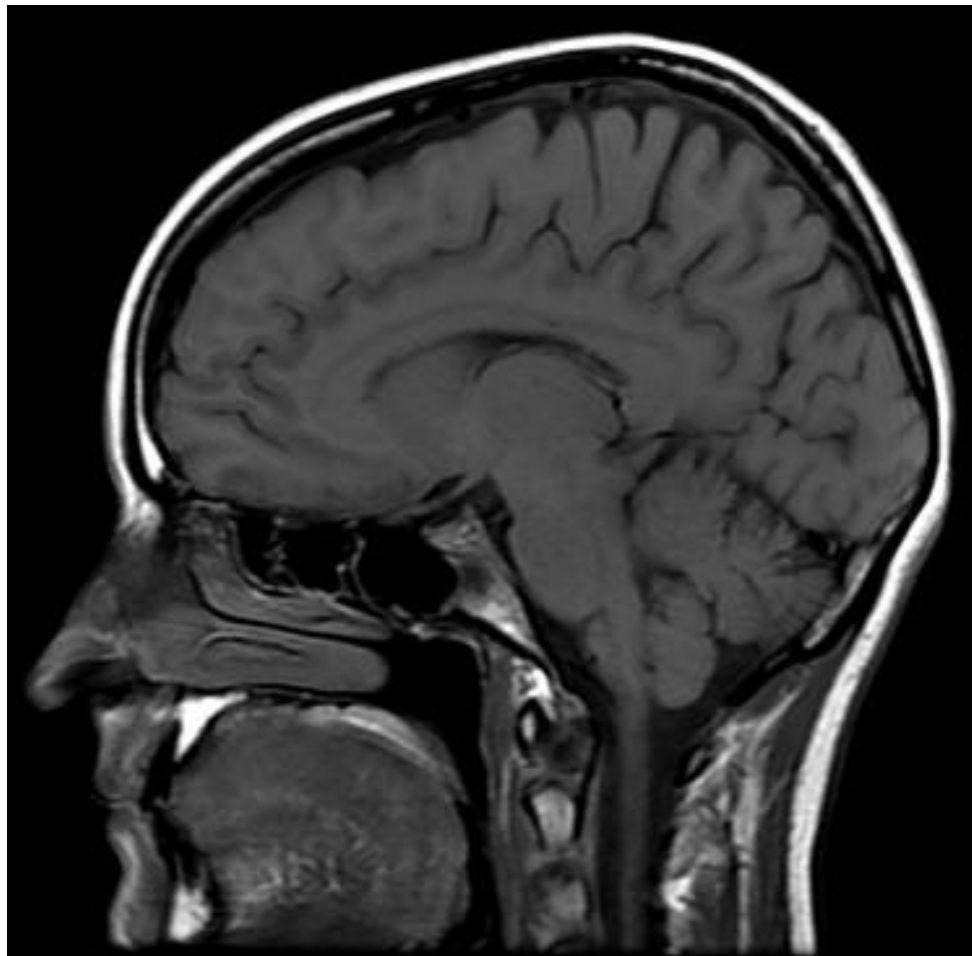
CT ≠ NMR



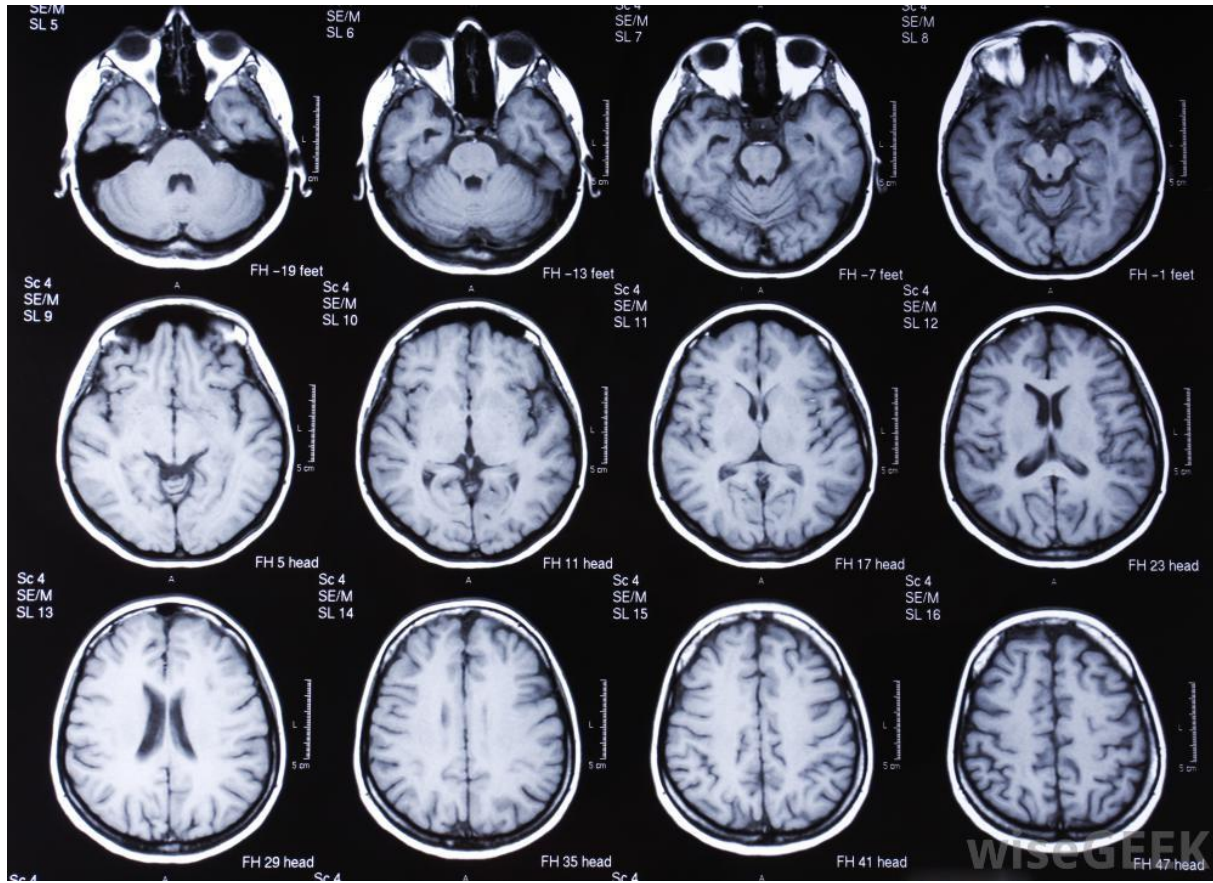
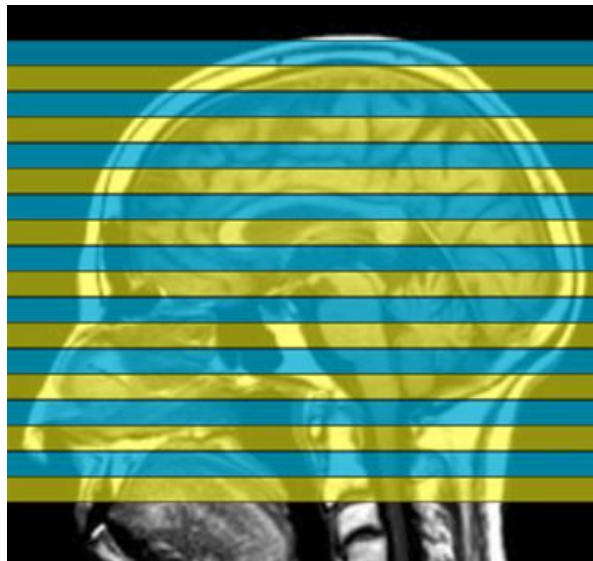
Tomografia NMR MRI



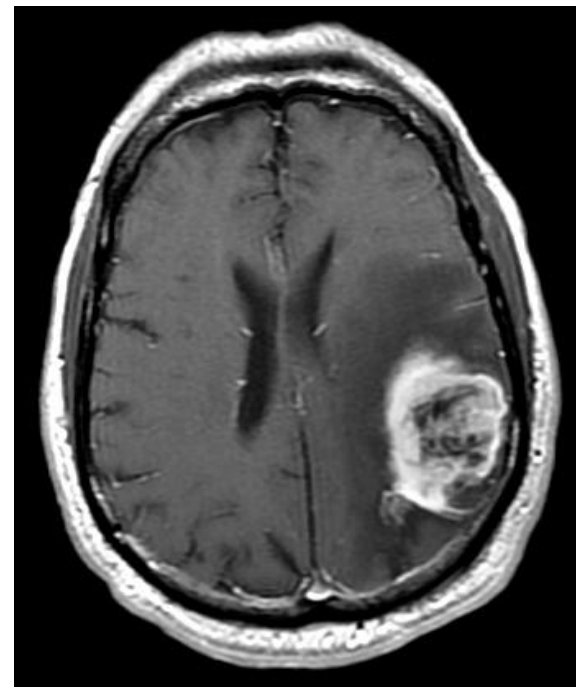
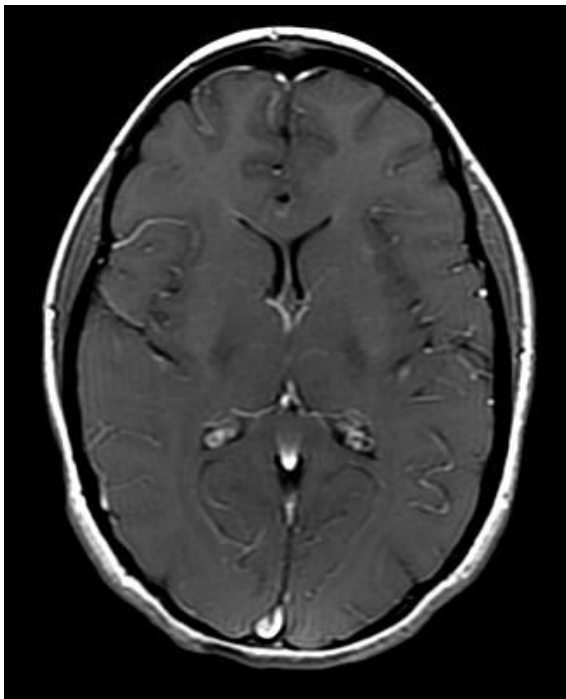
Obraz MRI



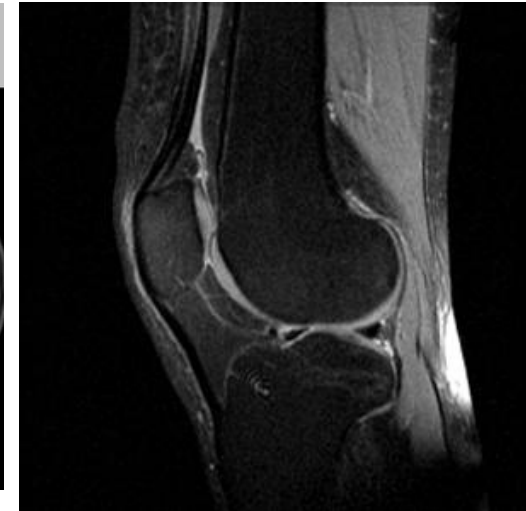
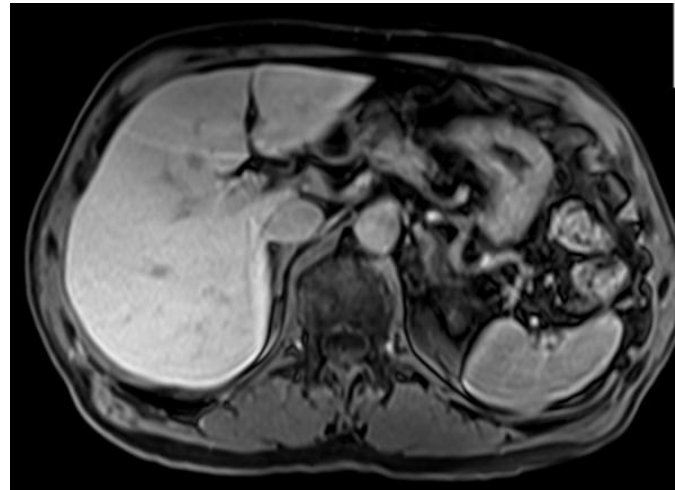
MRI



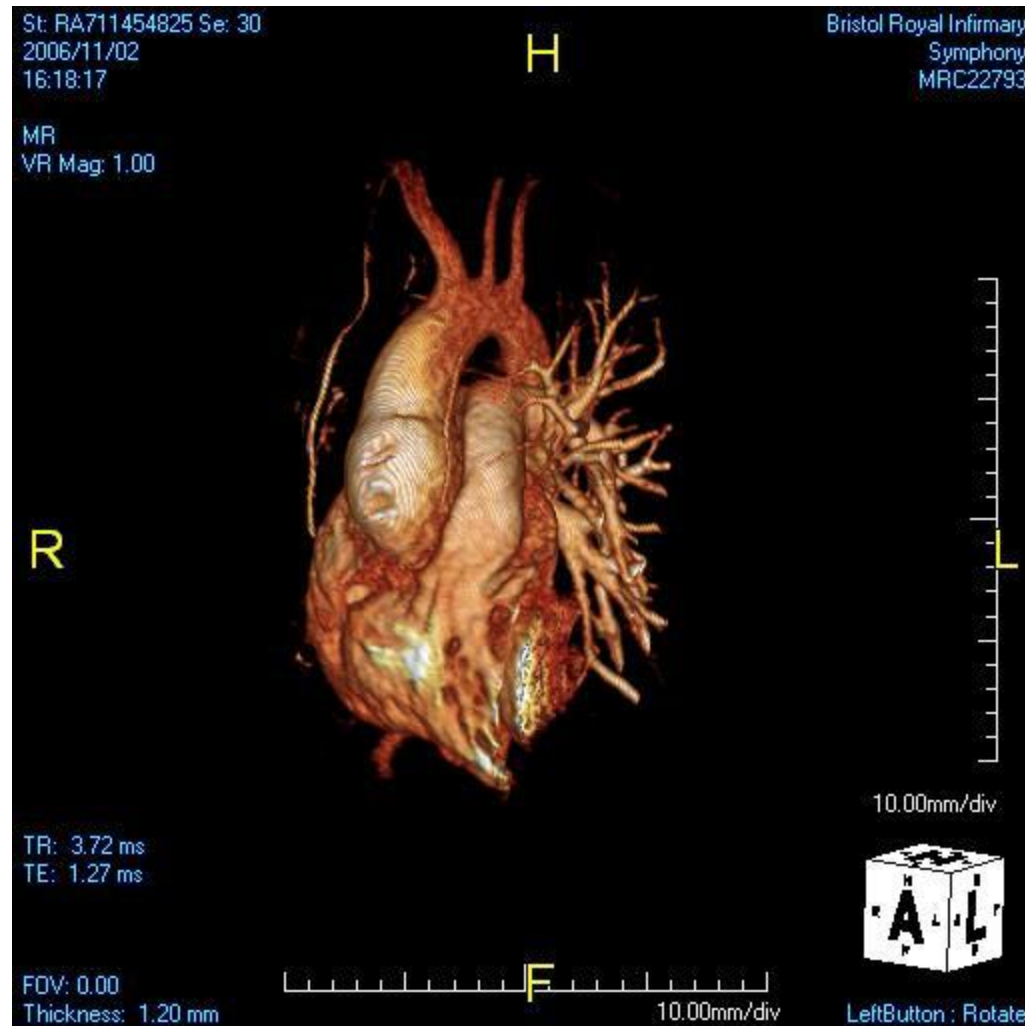
Diagnostyka MRI



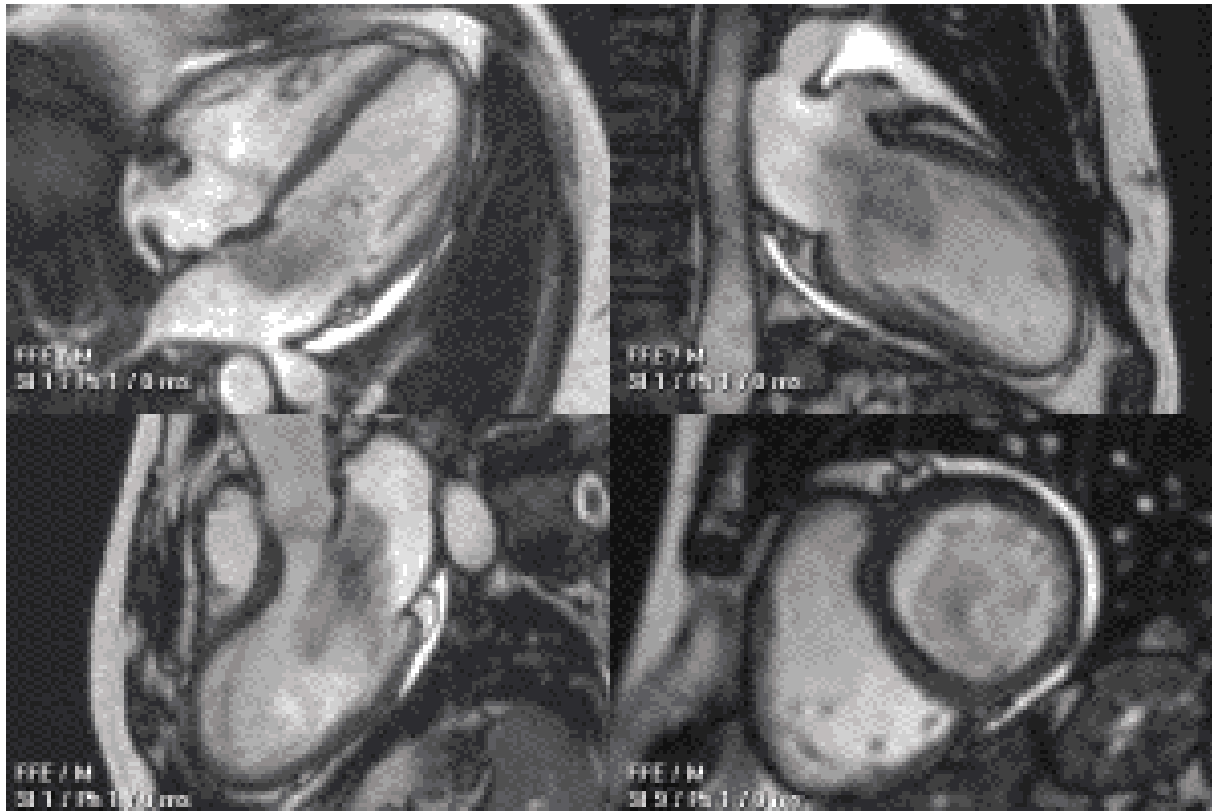
Wszechstronne zastosowanie MRI



3D MRI



Badania dynamiczne MRI

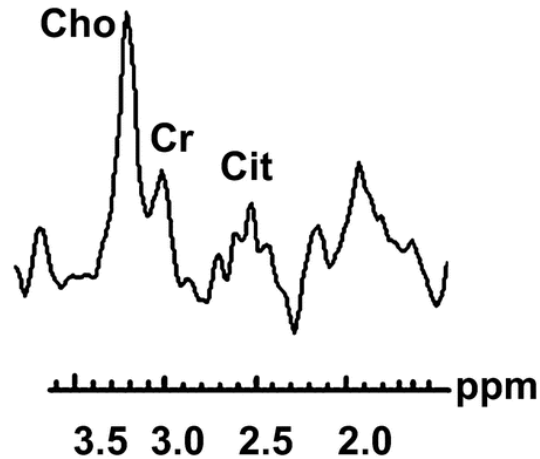


Angiografia MRI

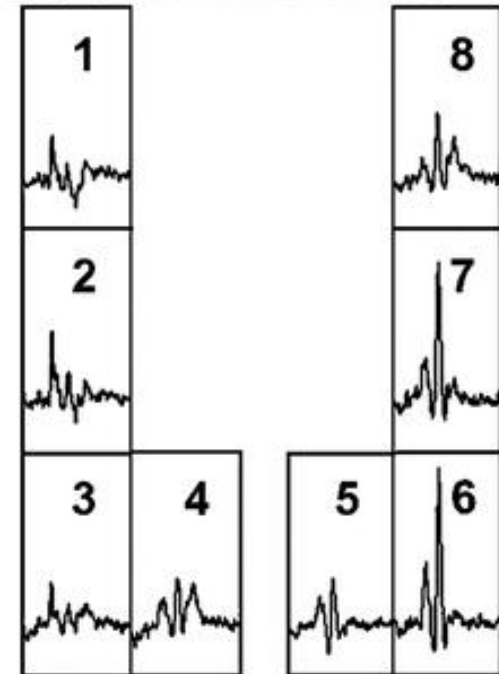
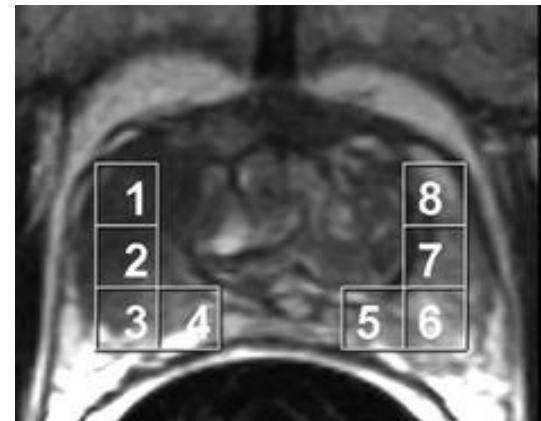
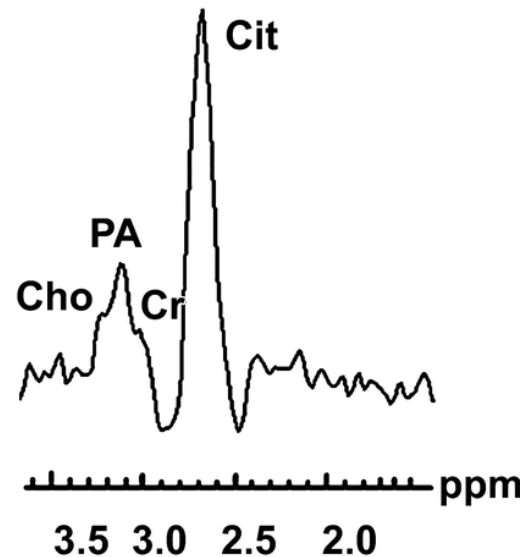


Spektroskopia MRI in vivo

Tkanka zdrowa



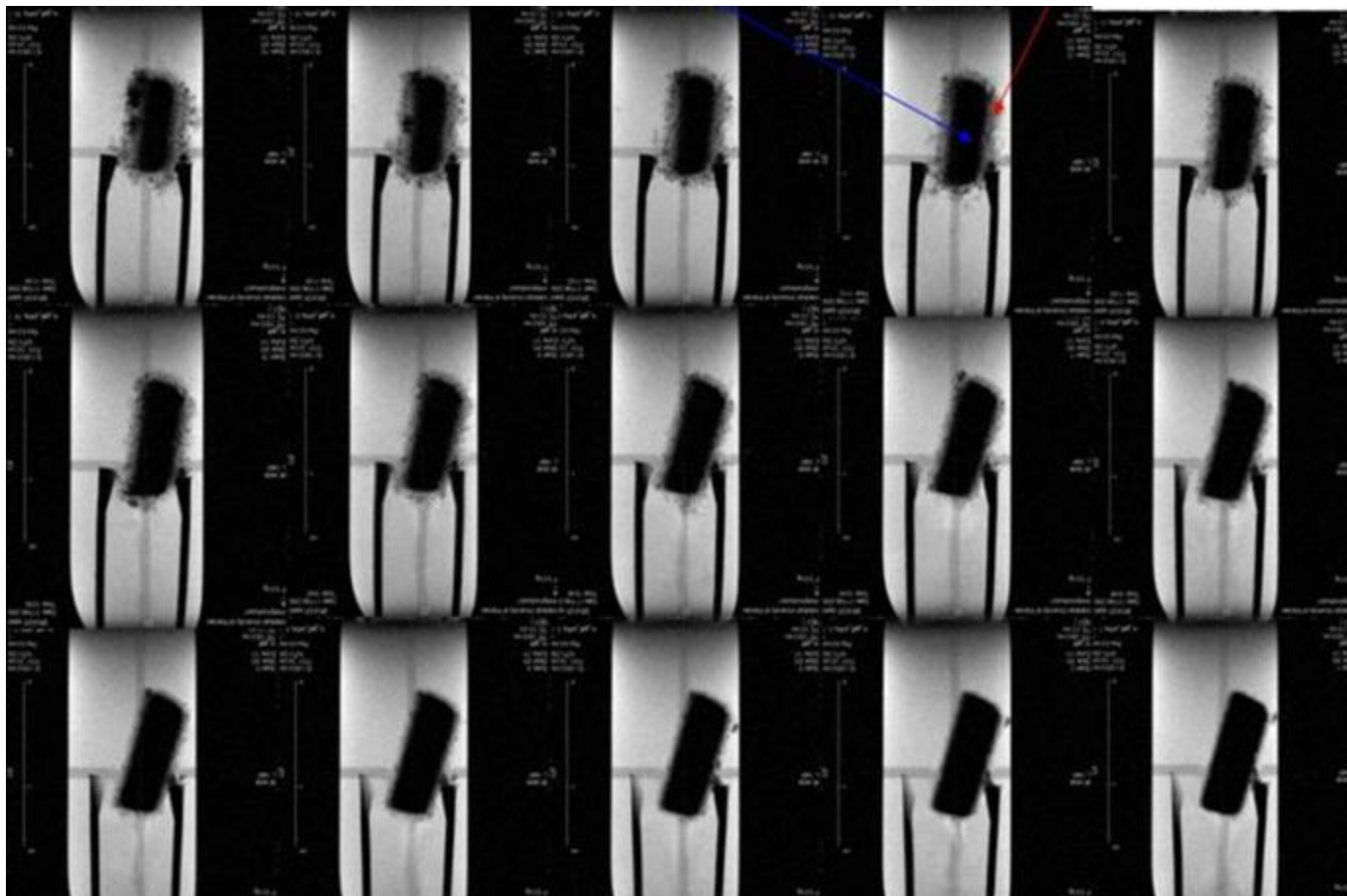
Tkanka nowotworowa



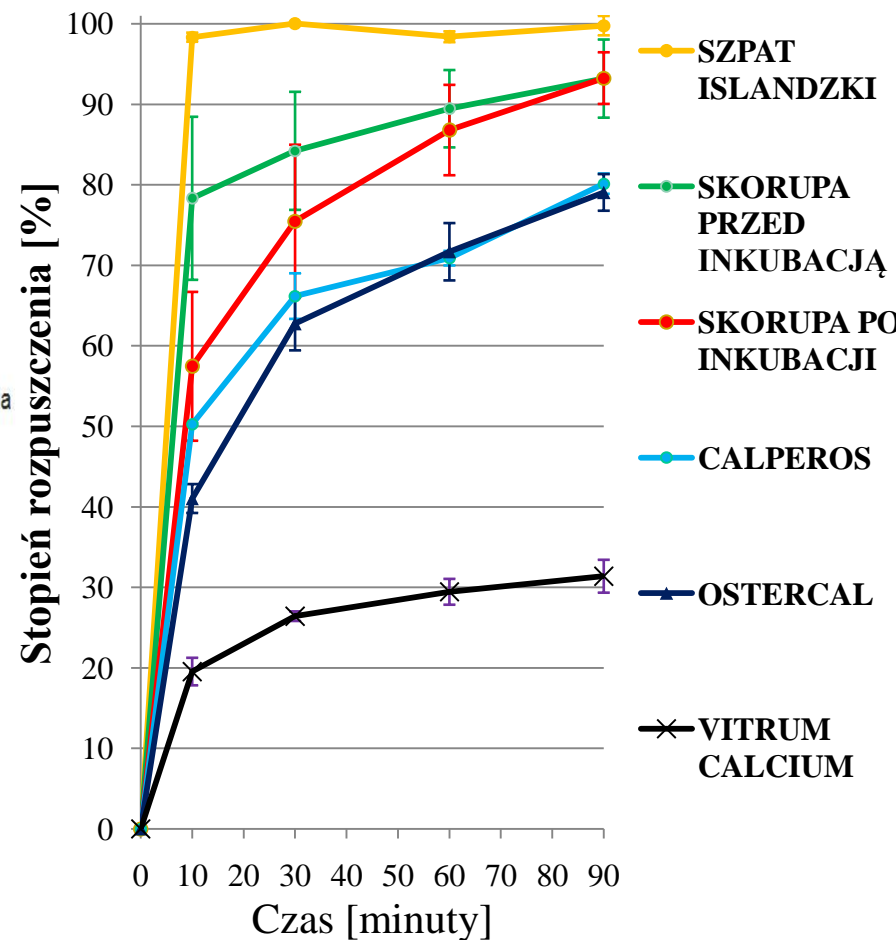
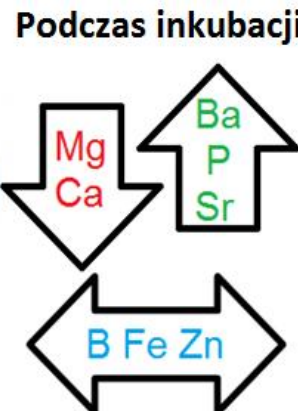
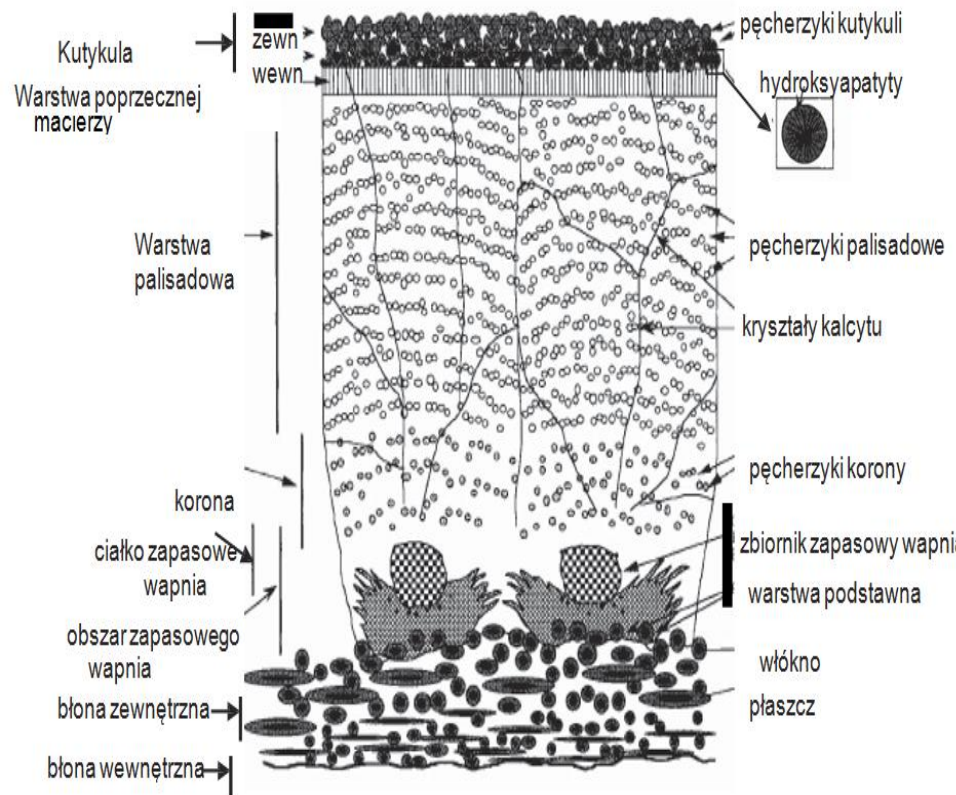
Badania tabletek metodą MRI

suchy rdzeń tabletki

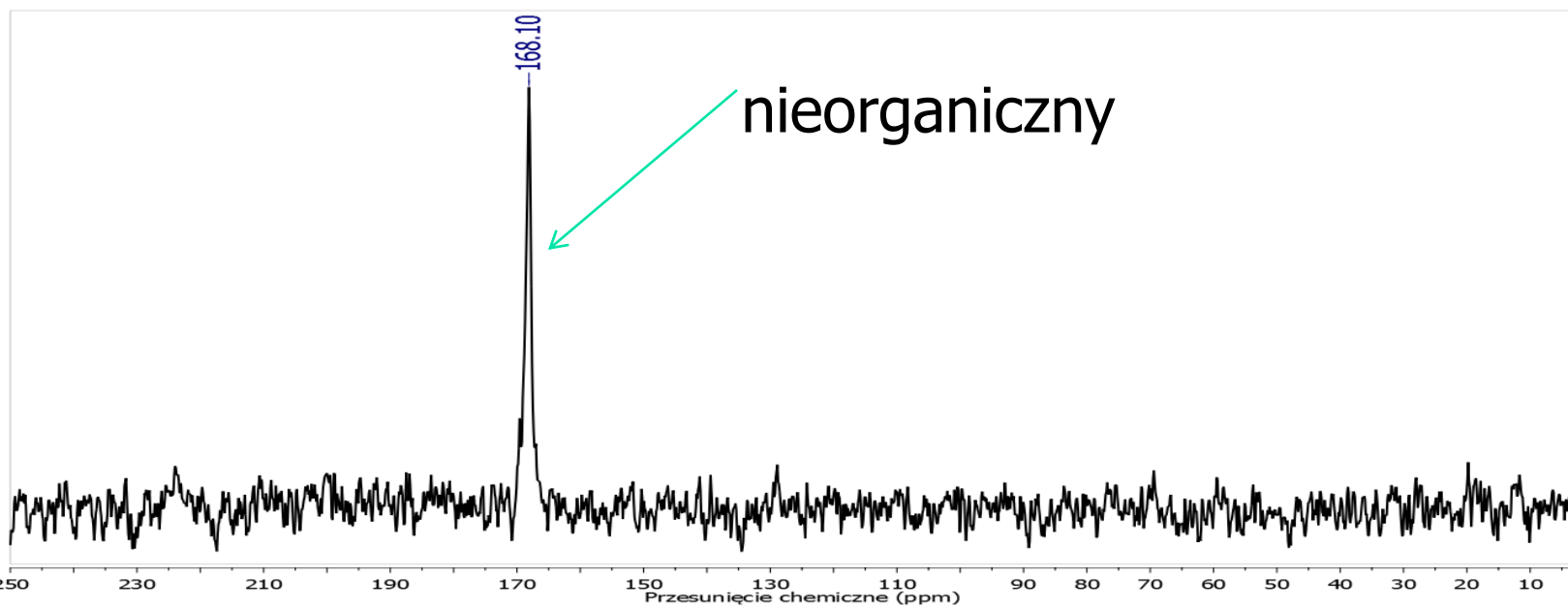
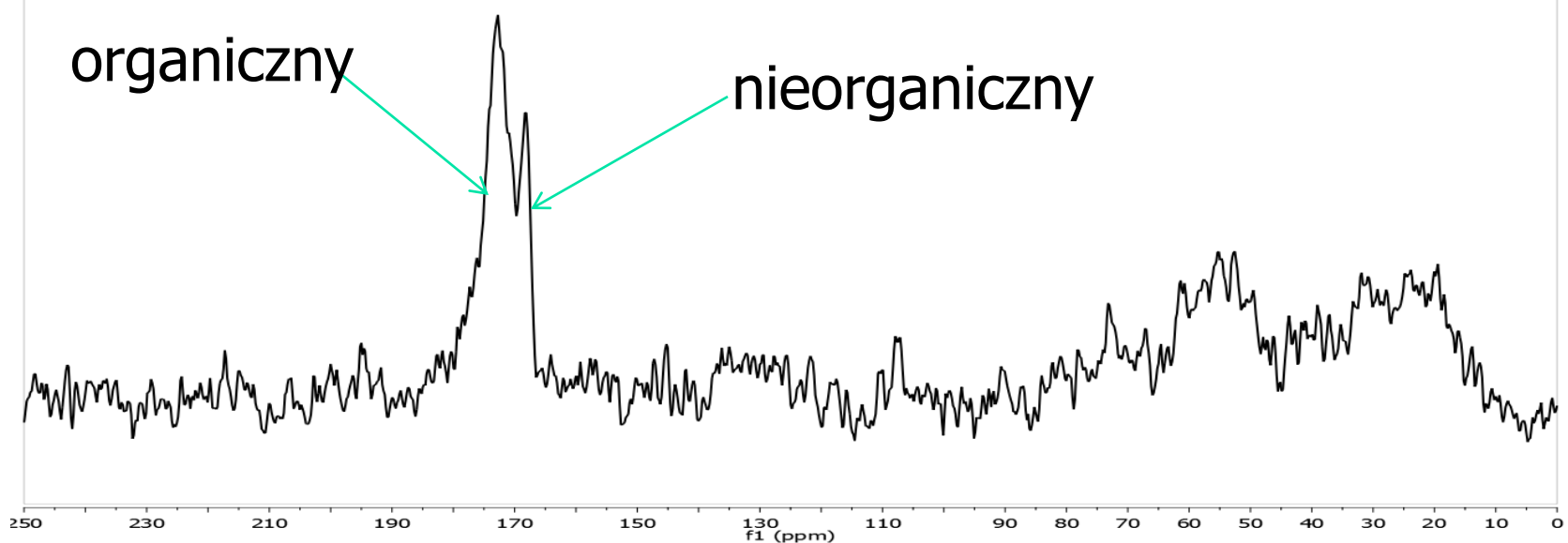
uwodniony polimer



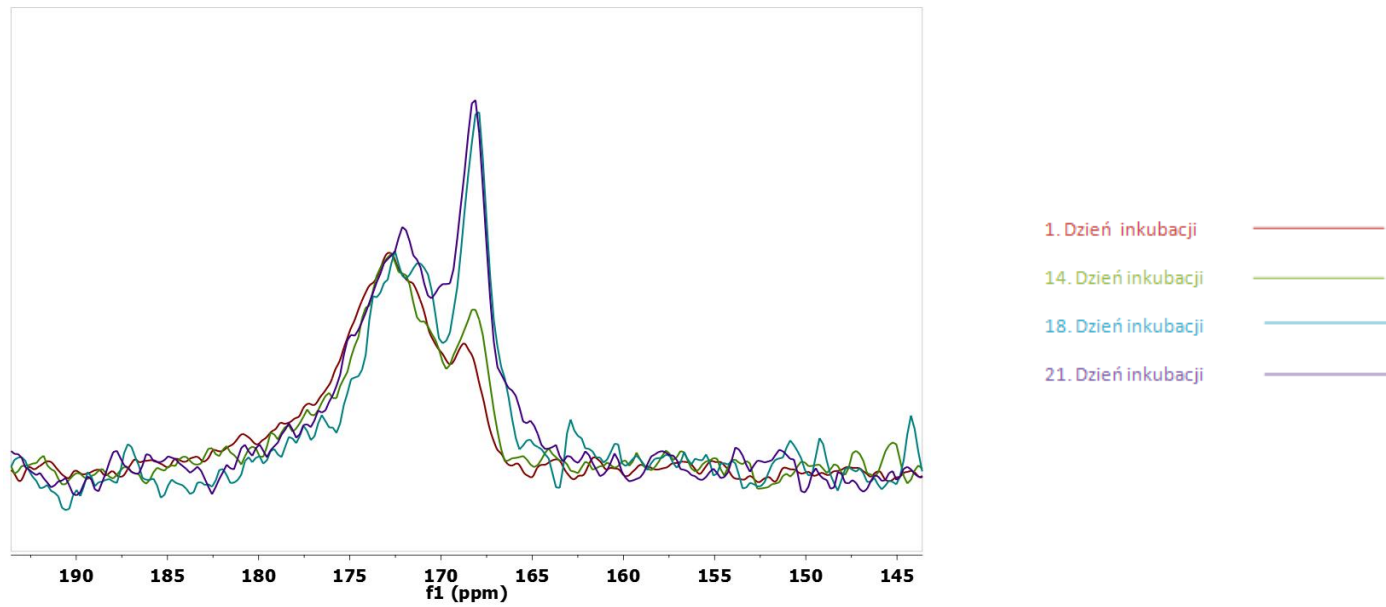
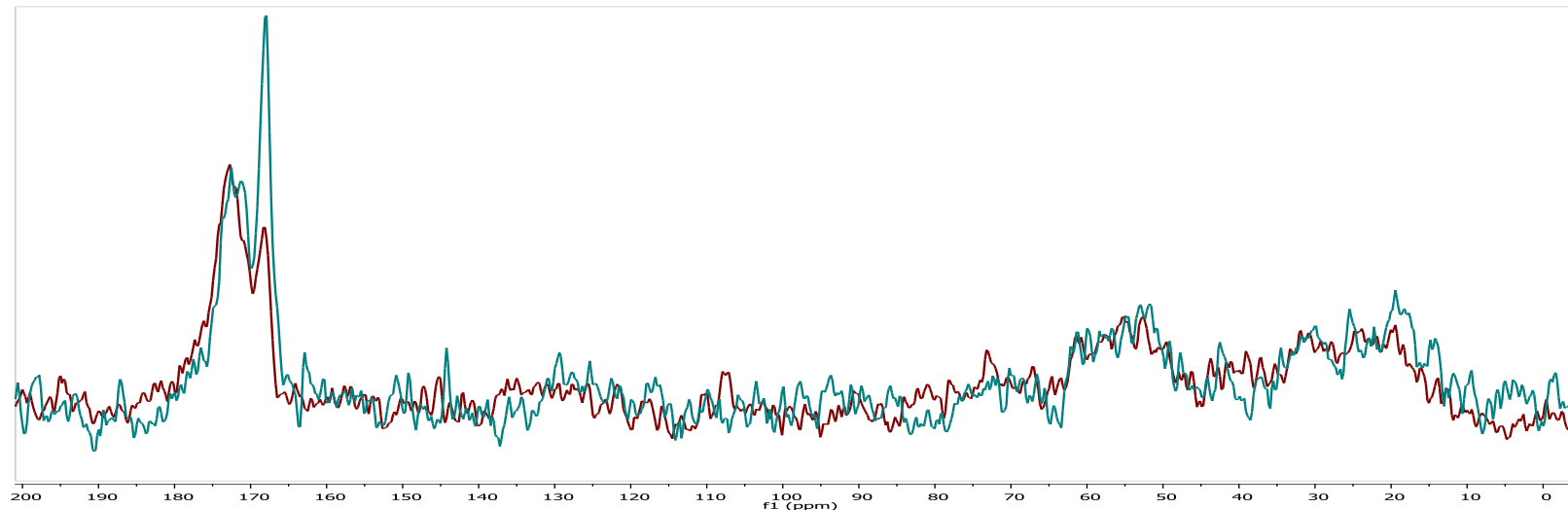
Spektroskopowe badania skorupy jaja kurzego



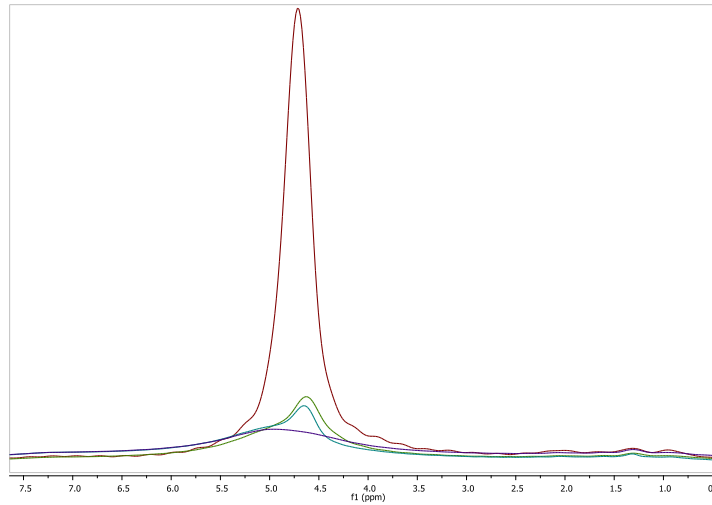
^{13}C MAS NMR



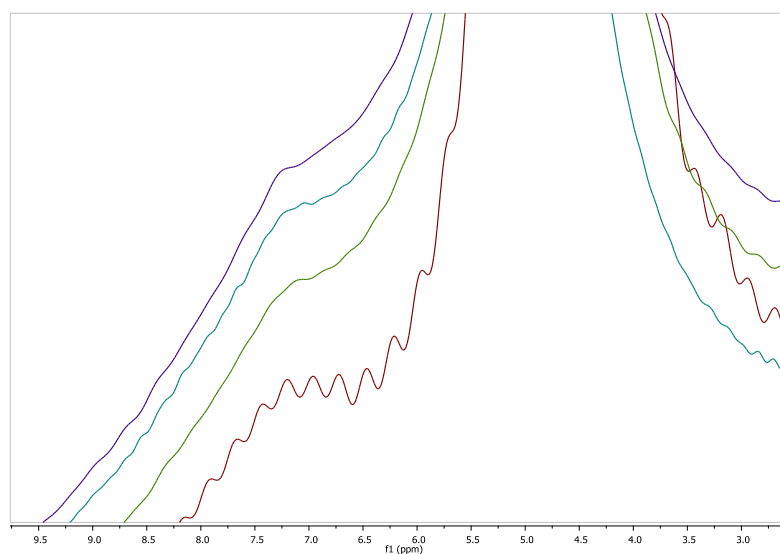
^{13}C CP MAS NMR



^1H MAS NMR



- 1. Dzień inkubacji
- 14. Dzień inkubacji
- 18. Dzień inkubacji
- 21. Dzień inkubacji



Dziękujemy za uwagę

